

Simulazione PMCSN

Luca Mastrobattista, 0292461

Indice

1	Traccia della Simulazione	4
1.1	Caso di studio	4
1.2	Obiettivi	4
2	Modello concettuale	5
2.1	Visualizzazione grafica	5
2.2	Eventi del sistema e variabili di stato	5
2.3	Eventi	5
2.4	Variabili di stato	5
3	Modello delle specifiche	6
3.1	Periodo di osservazione	6
3.2	Distribuzione degli arrivi	6
3.3	Assunzioni	7
3.4	Guadagni e costi	8
4	Modello analitico	8
5	Modello computazionale	8
5.1	Makefile	10
5.2	Dipendenze	10
5.3	Script di supporto	10
6	Verifica	11
6.1	verify1.py	11
6.2	Verifica dello scheduling	13
6.3	Conclusione	14
7	Validazione	14
7.1	Analisi a orizzonte infinito	14
8	Analisi dei costi e dei guadagni	17
8.1	Analisi a orizzonte finito	17
8.2	Analisi delle spese	18
8.3	Analisi dei guadagni	19
8.3.1	Senza fattore gaussiano	19
8.3.2	Con fattore gaussiano	19
8.4	Conclusioni	19

9	Immagini	19
9.1	Distribuzioni gaussiane per gli arrivi	19
9.2	Interarrivi	23
9.2.1	Week - orizzonte infinito	23
9.2.1.1	Slot 0	23
9.2.1.2	Slot 1	23
9.2.1.3	Slot 3	24
9.2.1.4	Slot 4	24
9.2.1.5	Slot 5	24
9.2.1.6	P	25
9.2.2	Weekend - orizzonte infinito	25
9.2.2.1	Slot 0	25
9.2.2.2	Slot 1	26
9.2.2.3	Slot 3	26
9.2.2.4	Slot 4	27
9.2.2.5	Slot 5	27
9.2.2.6	P	28
9.3	Attesa	28
9.3.1	Week - orizzonte infinito	28
9.3.1.1	Slot 0	28
9.3.1.2	Slot 1	29
9.3.1.3	Slot 3	29
9.3.1.4	Slot 4	30
9.3.1.5	Slot 5	30
9.3.1.6	P	31
9.3.2	Weekend - orizzonte infinito	31
9.3.2.1	Slot 0	31
9.3.2.2	Slot 1	32
9.3.2.3	Slot 3	32
9.3.2.4	Slot 4	33
9.3.2.5	Slot 5	33
9.3.2.6	P	34
9.3.3	Week - orizzonte finito	34
9.3.3.1	Tipo B - no gaussian factor	34
9.3.3.2	Tipo P - no gaussian factor	35
9.3.3.3	Tipo B - gaussian factor	35
9.3.3.4	Tipo P - gaussian factor	36
9.3.4	Weekend - orizzonte finito	36
9.3.4.1	Tipo B	36
9.3.4.2	Tipo P	37
9.3.4.3	Tipo B - gaussian factor	37
9.3.4.4	Tipo P - gaussian factor	38
9.4	Popolazione nel centro	38
9.4.1	Week - orizzonte infinito	38
9.4.1.1	Slot 0	38
9.4.1.2	Slot 1	39
9.4.1.3	Slot 3	39
9.4.1.4	Slot 4	40
9.4.1.5	Slot 5	40

	9.4.1.6	P	41
9.4.2		Weekend - orizzonte infinito	41
	9.4.2.1	Slot 0	41
	9.4.2.2	Slot 1	42
	9.4.2.3	Slot 3	42
	9.4.2.4	Slot 4	43
	9.4.2.5	Slot 5	43
	9.4.2.6	P	44
9.5		Ritardo	44
	9.5.1	Week - orizzonte infinito	44
		9.5.1.1 Slot 0	44
		9.5.1.2 Slot 1	45
		9.5.1.3 Slot 3	45
		9.5.1.4 Slot 4	46
		9.5.1.5 Slot 5	46
		9.5.1.6 P	47
	9.5.2	Weekend - orizzonte infinito	47
		9.5.2.1 Slot 0	47
		9.5.2.2 Slot 1	48
		9.5.2.3 Slot 3	48
		9.5.2.4 Slot 4	49
		9.5.2.5 P	49
		9.5.2.6 Slot 5	50
9.6		Popolazione in coda	50
	9.6.1	Week - orizzonte infinito	50
		9.6.1.1 Slot 0	50
		9.6.1.2 Slot 1	51
		9.6.1.3 Slot 3	51
		9.6.1.4 Slot 4	52
		9.6.1.5 Slot 5	52
		9.6.1.6 P	53
	9.6.2	Weekend - orizzonte infinito	53
		9.6.2.1 Slot 0	53
		9.6.2.2 Slot 1	54
		9.6.2.3 Slot 3	54
		9.6.2.4 Slot 4	55
		9.6.2.5 Slot 5	55
		9.6.2.6 P	56

1 Traccia della Simulazione

1.1 Caso di studio

Si vuole valutare l'opportunità di aprire un locale in un piccolo paese che offrirà servizi di bar e pizzeria. Il locale è già dotato di tutto l'arredamento e verrà affittato al costo mensile di 1.500,00 €. Il pizzaiolo selezionato per il servizio di pizzeria ha indicato che nel forno disponibile è possibile preparare contemporaneamente un massimo di 2 pizze, ciascuna delle quali richiede in media 3 minuti di preparazione. Inoltre, è stato concordato con il pizzaiolo che lavorerà tutti i giorni della settimana dalle 19:00 alle 23:00, con una retribuzione giornaliera di 50 euro, con l'accordo che tutte le ordinazioni ricevute prima delle 23:00 verranno comunque servite, anche se ciò richiederà di continuare a cuocere pizze oltre quell'orario. Per quanto riguarda le richieste relative al bar, si desidera che "l'ultimo giro" venga chiamato alle 02:00, senza accettare ulteriori richieste dopo quell'orario, ma completando tutte quelle già presenti.

Dopo un'osservazione settimanale di altri locali che offrono servizi simili, è emerso che il numero di clienti che frequentano il locale varia nelle diverse fasce orarie della giornata. Inoltre, durante il fine settimana, si registra un aumento della frequenza delle richieste rispetto ai giorni feriali. Infine, è stato notato che nella fascia oraria compresa tra le 15:00 e le 18:00 le richieste sono così scarse che non è conveniente mantenere il locale aperto. Di seguito sono riportate delle tabelle riassuntive per le frequenze di arrivo.

Fascia oraria	$\lambda_{B,W}$	$\lambda_{P,W}$
07:00 → 11:00	30 j/h	✗
11:00 → 15:00	12.5 j/h	✗
15:00 → 18:00	✗	✗
18:00 → 19:00	25 j/h	✗
19:00 → 23:00	12.5 j/h	10 j/h
23:00 → 02:00	10 j/h	✗

Frequenze di arrivo settimanali

Fascia oraria	$\lambda_{B,WE}$	$\lambda_{P,WE}$
07:00 → 13:00	30 j/h	✗
13:00 → 18:00	20 j/h	✗
15:00 → 18:00	✗	✗
18:00 → 19:00	45 j/h	✗
19:00 → 23:00	22.5 j/h	30 j/h
23:00 → 02:00	20 j/h	✗

Frequenze di arrivo fine-settimanali

1.2 Obiettivi

L'obiettivo dell'analisi è determinare il numero ottimale di baristi da assumere per massimizzare i guadagni, tenendo conto di alcune condizioni e vincoli specifici.

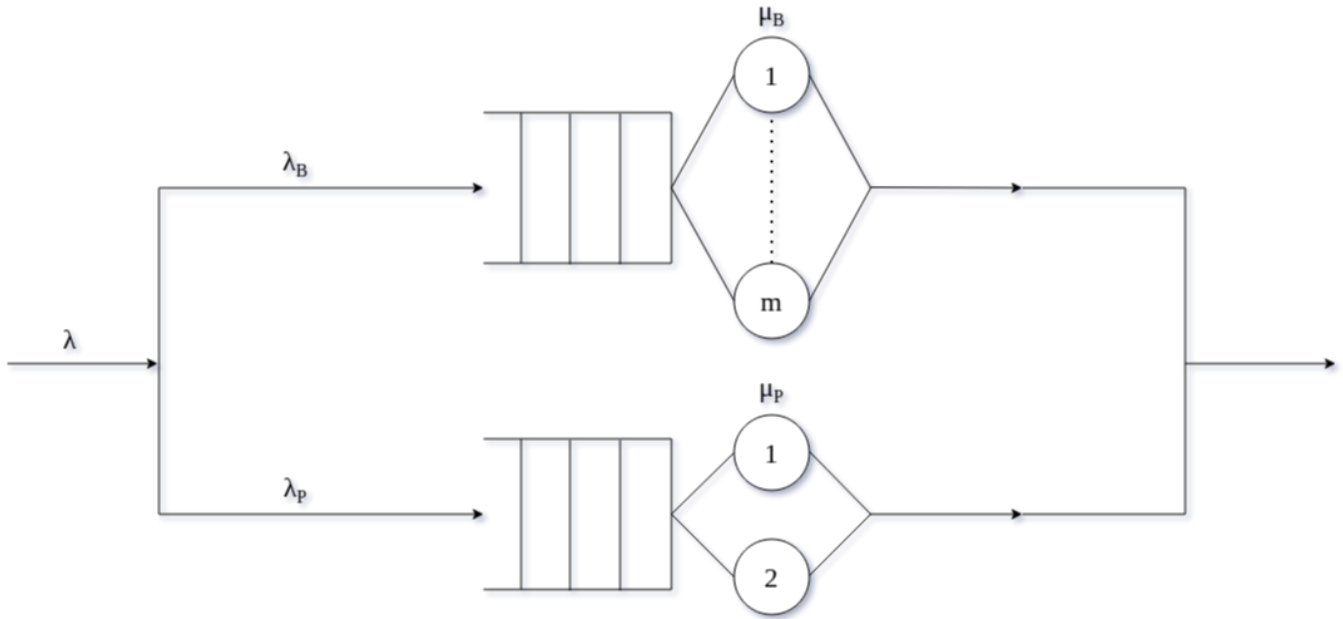
Si considera una retribuzione di 40,00 € al giorno per ciascun barista, con un turno lavorativo di 8 ore. Si presume che ogni barista sia in grado di servire un'ordinazione in 2 minuti, durante i quali si dedica esclusivamente a quella richiesta. Si assume inoltre che il prezzo medio delle richieste al bar sia di 5,00 €, mentre quello delle richieste alla pizzeria sia di 7,00 €. Tuttavia, esistono alcuni vincoli che si vuole che siano sempre rispettati:

- Ogni ordinazione al bar deve essere servita entro un massimo di 3 minuti.
- Ogni ordinazione per la pizzeria deve essere servita entro un massimo di 10 minuti.

Per massimizzare i guadagni, è necessario determinare quanti baristi assumere in modo che siano sufficienti a gestire il flusso di ordini, mantenendo comunque i tempi di servizio entro i limiti stabiliti dai vincoli; inoltre, per rispettare i vincoli, si può valutare l'assunzione di un nuovo pizzaiolo e l'acquisto di un forno più grande.

2 Modello concettuale

2.1 Visualizzazione grafica



La frequenza di arrivo λ si compone della frequenza di arrivo λ_B e λ_P , che sono rispettivamente i tassi di arrivo per richieste al bar e alla pizzeria. Una opportuna coda per ogni tipologia rappresenta la lista di attesa della tipologia stessa. Ogni servente di tipo B rappresenta un barista assunto, che lavora con una frequenza μ_B . Ogni servente di tipo P , invece, rappresenta una delle due richieste che il pizzaiolo è in grado di gestire contemporaneamente e lavora con frequenza μ_P .

2.2 Eventi del sistema e variabili di stato

2.3 Eventi

Indice	Descrizione	Attributo 1	Attributo 2
0	Arrivo di tipo B	t	x
1	Completamento dal server B_1	t	x
..	..	t	x
m	Completamento dal server B_m	t	x
m + 1	Arrivo di tipo P	t	x
m + 2	Completamento dal server P_1	t	x
m + 3	Completamento dal server P_2	t	x
m + 4	Evento di campionamento	t	x

L'attributo t identifica il tempo schedulato per la successiva occorrenza dell'evento di quel tipo; l'attributo x identifica lo stato di attività dell'evento.

2.4 Variabili di stato

- $l_B(t)$: numero di richieste di tipo B al centro all'istante t
- $l_P(t)$: numero di richieste di tipo P al centro all'istante t

- $X_s(t)$: stato del servente s all'istante t , con $s \in \mathcal{B} \cup \mathcal{P}$, dove $\mathcal{B} \cup \mathcal{P}$ è l'insieme dei serventi di tipo B unito all'insieme dei serventi di tipo P .

$$X_s(t) = \begin{cases} 1 & \text{se servente } s \text{ è occupato} \\ 0 & \text{altrimenti} \end{cases}$$

3 Modello delle specifiche

3.1 Periodo di osservazione

Il periodo di osservazione copre una giornata lavorativa composta dalle fasce orarie precedentemente riportate nelle *tabelle riassuntive dei tassi di arrivo*. Questa giornata lavorativa può essere considerata sia durante la settimana (*week*) che nel fine settimana (*weekend*): è importante valutare il sistema in entrambi i casi poiché il flusso di richieste in ingresso varia tra i giorni lavorativi e i giorni feriali.

3.2 Distribuzione degli arrivi

I valori dei tassi di arrivo sono stati raccolti attraverso l'analisi di dati reali, fornendo una stima attendibile ma flessibile. Per modellare il processo degli arrivi, è stata scelta la distribuzione esponenziale, con un tasso di arrivo λ variabile per ciascuna fascia oraria. Tuttavia, per catturare le variazioni nei tempi di arrivo dei clienti, si è introdotto un elemento di realismo attraverso l'utilizzo di una distribuzione gaussiana all'interno di ciascuna fascia oraria. Questa scelta è basata sulle seguenti motivazioni:

- Flessibilità del modello: L'utilizzo della distribuzione esponenziale come base del modello offre una notevole flessibilità, consentendo la generazione di tempi di interarrivo casuali che possono variare significativamente. Questa flessibilità riflette in modo accurato la natura casuale degli arrivi in un bar, che può manifestare variazioni significative nel tempo, anche quando la frequenza di arrivo media è nota.
- Introduzione del ritardo gaussiano: L'introduzione di un ritardo gaussiano arricchisce ulteriormente il modello, consentendo di tenere conto di effetti come le ore di punta o i momenti in cui ci si aspetta una maggiore affluenza. Questo approccio rende il modello più aderente alla realtà senza la necessità di creare un modello basato completamente su una distribuzione gaussiana, che potrebbe non rappresentare in modo accurato la variabilità dei tempi di interarrivo.

Per ogni fascia oraria si definisce una distribuzione di probabilità gaussiana:

Fascia oraria	μ	σ	Link all'immagine
07:00 → 11:00	8	1.2	Link
11:00 → 15:00	13.5	2	Link
18:00 → 19:00	18.5	0.4	Link
19:00 → 23:00	22.5	2	Link
23:00 → 02:00	24	0.9	Link

Parametri delle gaussiane per richieste di tipo B

Fascia oraria	μ	σ	Link all'immagine
19:00 → 23:00	20.5	1	Link

Parametri delle gaussiane per richieste di tipo P

Per comprendere meglio come funziona il calcolo dei tempi di interarrivo, esaminiamo un esempio specifico. Per esempio, supponiamo di essere all'istante di simulazione t_0 di un giorno lavorativo

settimanale, all'interno della prima fascia oraria, dove λ è pari a 0.5 arrivi al minuto. Per calcolare il prossimo tempo di interarrivo, utilizziamo la seguente formula:

$$\frac{\text{Exponential}(1/\lambda)}{f^n(t_0)}$$

Dove $f^n(t_0)$ rappresenta il valore della distribuzione di probabilità gaussiana relativa alla fascia oraria valutata in t_0 , troncata rispetto all'intera fascia oraria. Nel nostro esempio specifico:

$$f^n(t_0) = \frac{f(t_0)}{F(11) - F(7)}$$

dove $F(x)$ funzione cumulativa della distribuzione gaussiana relativa alla fascia oraria dalle 07:00 alle 11:00.

È importante sottolineare che non è stata adottata direttamente una distribuzione gaussiana per i tempi di interarrivo perché questa avrebbe modellato un comportamento diverso, dove i tempi sarebbero concentrati intorno al valore medio della distribuzione per l'intera fascia oraria. L'obiettivo era invece modellare una diminuzione dei tempi di interarrivo in prossimità di determinati momenti. È tuttavia possibile disabilitare questa opzione di ritardo gaussiano durante la simulazione tramite l'apposito flag a riga comando, conferendo al simulatore la flessibilità di adattarsi alle diverse esigenze di modellazione.

3.3 Assunzioni

- Stato iniziale vuoto:

$$l_B(0) + l_P(0) = P(0) + B(0) = 0$$

Come conseguenza, il primo evento deve essere necessariamente un arrivo e, in particolare, è un arrivo di tipo B : la pizzeria apre alle 19.

- Stato finale di ogni giorno vuoto:

$$X_s(T) = 0 \quad \forall s \in \mathcal{B} \cup \mathcal{P}$$

Con T tempo di chiusura giornaliero e $\mathcal{B} \cup \mathcal{P}$ l'unione dell'insieme dei serventi di tipo B e P . Come conseguenza, l'ultimo evento non può essere un arrivo, e sarà quindi o una partenza o un campionamento.

- I tempi di servizio di ognuno dei serventi si assumono esponenziali e indipendenti dalla fascia oraria. In particolare, ogni servente di tipo B lavora con frequenza media pari a $\mu_B = \frac{1}{2} j/min$; ogni servente di tipo P lavora con frequenza media pari a $\mu_P = \frac{1}{3} j/min$.
- l'evento di campionamento non deve seguire un evento di campionamento: non ha molto senso raccogliere due volte le statistiche se nel mezzo non è accaduto niente. Anzi: un campionamento incontrollato di questo tipo darebbe un peso maggiore al valore delle statistiche raccolte successivamente.

3.4 Guadagni e costi

4 Modello analitico

Di seguito sono riportate le formule utilizzate per l'analisi teorica del sistema. In particolare, tutti i centri sono stati modellati come M/M/m per i quali si hanno le seguenti formule teoriche:

$$P(0) = \left[\sum_{i=0}^{m-1} \frac{(m\rho)^i}{i!} + \frac{(m\rho)^m}{m!(1-\rho)} \right]^{-1}$$

$$E(TS) = E(TQ) + E(S_i)$$

$$P_Q = \frac{(m\rho)^m}{m!(1-\rho)} \cdot p(0)$$

$$E(NQ)_{Erlang} = \frac{P_Q \rho}{1-\rho}$$

$$E(TQ) = \frac{P_Q E(S)}{1-\rho}$$

$$E(NS) = E(NQ) + m\rho$$

5 Modello computazionale

Il modello computazionale è stato sviluppato in linguaggio *Python* ed è implementato nel programma `simulation.py`. All'interno della cartella `configuration/`, sono conservati tutti i file di configurazione utilizzati nel corso dell'analisi, e questo è anche il percorso in cui vengono salvati eventuali nuovi file di configurazione. I parametri configurabili e i loro valori di default sono definiti nel file `configurations/Config.py`.

Il programma può essere eseguito da riga di comando, e offre diversi flag che ne influenzano il comportamento. È possibile ottenere un elenco di questi flag eseguendo il comando `python simulation.py -h` o `python simulation.py -help`, il quale restituirà il seguente messaggio:

```
~/Scrittania/PMCSN/PMCSN-simulation (main*) > python simulation.py -h
usage: simulation.py [-h] [-cf FILEPATH] [-scf FILEPATH] [-fh] [-lh] [-cc OPTION VALUE] [-fb THRESHOLD] [-s SEED] [-ngf] [-of FILE] [-wed]

PMCSN project command line interface

options:
  -h, --help            show this help message and exit
  -cf FILEPATH, --configFile FILEPATH
                        specify a configuration file to load
  -scf FILEPATH, --storeConfigFile FILEPATH
                        specify an output file where to store config
  -fh, --finite_horizont
                        simulate a finite horizon case
  -lh, --infinite_horizont
                        simulate an infinite horizon case. Using this, gaussian factor is automatically disabled
  -cc OPTION VALUE, --change_config OPTION VALUE
                        specify configuration to change
  -fb THRESHOLD, --find_b_value THRESHOLD
                        find the value of b such that autocorrelation lag j=1 is <= THRESHOLD
  -s SEED, --seed SEED  use the given SEED as random seed. If SEED = 0 then the initial seed is to be supplied interactively; if SEED < 0
                        then the initial seed is obtained from the system clock; if SEED > 0 > 0 then it is the initial seed (unless too
                        large). default value is 0
  -ngf, --no_gaussian_factor
                        don't use the gaussian probability value to weight interarrival times
  -of FILE, --output_file FILE
                        save output in ./output/OUTPUTFILE.csv. The file format .csv is added if not already present
  -wed, --weekend_day  simulate a weekend day, with the proper system variables. Default this option is disabled, meaning that a week day
                        is simulate
```

Tra questi, il flag `-cc` consente di modificare qualsiasi impostazione presente nel file di configurazione specificando il valore desiderato direttamente da riga di comando, mentre il flag `-ngf`, ovvero `-no_gaussian_factor`, disabilita la normalizzazione del tempo di interarrivo utilizzando il fattore gaussiano determinato secondo le modalità descritte nella [sezione dedicata alla distribuzione degli arrivi](#).

Il programma è stato realizzato seguendo l'approccio della *next-event simulation* e, per massimizzare la modularità, sono state create opportune classi Python, ognuna memorizzata in un file separato.

Le funzioni per elaborare gli arrivi sono `processArrivalB()` e `processArrivalP()`, all'interno delle quali è implementata la logica per ottenere il tasso di arrivo λ corretto in base alla fascia oraria. L'inverso di questo tasso di arrivo viene poi utilizzato come parametro per le funzioni `getArrivalB(m)` e `getArrivalP(m)`, che richiamano a loro volta la funzione `Exponential(m)` dopo aver selezionato opportunamente uno specifico *stream*. Le funzioni per gestire le partenze sono invece `processDepartureB()` e `processDepartureP()`.

La selezione del servente avviene in modo diverso per le richieste al bar e alla pizzeria. Per le richieste "B", viene utilizzata la politica di *equity*, cercando il server che è rimasto libero per più tempo. Per quanto riguarda le richieste alla pizzeria ("P"), la selezione avviene in base al primo server libero di quel tipo che viene trovato, scandendo la lista in ordine crescente. Questa scelta è motivata dal fatto che i server di tipo "P" simulano un pizzaiolo capace di cuocere contemporaneamente 2 pizze, ed avrebbe poco senso modellarlo con una politica di equità.

L'evento di campionamento viene programmato aggiungendo un valore di tempo costante al tempo minimo tra i prossimi eventi schedulati:

simulation.py

```
242 times = []
243 for index, ev in enumerate(stats.events):
244     if index != e and ev.x == 1:
245         times.append(ev.t)
246 stats.events[e].t = min(times) + samplingInterarrivalTime
```

Il valore costante da aggiungere a ogni nuova schedulazione è generato a inizio simulazione con una invocazione della funzione `Uniform(config.SAMPLING_UNIFORM_A, config.SAMPLING_UNIFORM_B)`, in modo da evitare di schedulare successivamente due eventi di campionamento. Nel corso della simulazione, i vari campioni raccolti vengono conservati in un'apposita istanza di `SamplingList`. Il metodo `append()` di questa classe, oltre ad aggiungere il nuovo campione alla fine della lista, implementa anche l'algoritmo *one-pass* di Welford per calcolare dinamicamente la media e la varianza per ciascuna delle grandezze rilevate. Alla fine della simulazione, è necessario invocare il metodo `makeCorrectVariance()`, che divide le varianze calcolate per ciascuna grandezza per il numero totale di campioni raccolti.

Le frequenze di arrivo utilizzate nella configurazione di default sono quelle indicate precedentemente, ma convertite in *j/min*:

Fascia oraria	$\lambda_{B,W}$	$\lambda_{P,W}$
07:00 → 11:00	0.5 j/min	✗
11:00 → 15:00	0.21 j/min	✗
18:00 → 19:00	0.42 j/min	✗
19:00 → 23:00	0.21 j/min	0.17 j/min
23:00 → 02:00	0.17 j/min	✗

Frequenze di arrivo settimanali

Fascia oraria	$\lambda_{B,WE}$	$\lambda_{P,WE}$
07:00 → 11:00	0.5 j/min	✗
11:00 → 15:00	0.34 j/min	✗
18:00 → 19:00	0.75 j/min	✗
19:00 → 23:00	0.375 j/min	0.5 j/min
23:00 → 02:00	0.34 j/min	✗

Frequenze di arrivo fine-settimanali

5.1 Makefile

Nella directory principale è presente un `Makefile` che aiuta ad eseguire correttamente il programma. Usando le configurazioni predisposte, nessun parametro di configurazione viene modificato: il flag `-cc` non viene mai usato.

In particolare, il comando `make clean` elimina tutti i file di output `.csv` generati da precedenti esecuzioni. Il comando `make`, che corrisponde a `make all`, esegue, in ordine:

```
rm -f ./output/*.csv
rm -f ./output/finite/*.csv
rm -f ./output/infinite/*.csv
python3 simulation.py -ih -s 123 -of week
python3 simulation.py -ih -s 123 -wed -of weekend
python3 simulation.py -fh -s 123 -of week_gauss
python3 simulation.py -fh -s 123 -of week -ngf
python3 simulation.py -fh -s 123 -of weekend_gauss -wed
python3 simulation.py -fh -s 123 -of weekend -wed -ngf
```

Questo comando è quello utilizzato per generare gli output che verranno successivamente discussi.

5.2 Dipendenze

Le librerie esterne importate, di cui il programma necessita per funzionare, sono le seguenti e sono riportate anche nel file `dipendenze.txt`:

- `copy`
- `argparse`
- `importlib`
- `ast`
- `math`
- `scipy.stats`
- `time`

5.3 Script di supporto

Nella cartella `scripts/` sono presenti degli script di supporto utilizzati:

- `compute_theoretical_values.py`: consente di calcolare i valori teorici a partire da un eventuale file di configurazione. È anche possibile salvare i risultati in formato CSV utilizzando l'opportuno flag. Altre informazioni si ottengono usando `-h` a riga comando.
- `check_interval.py`: a partire da un file CSV contenenti i risultati teorici, verifica se i risultati teorici cadono o meno nell'intervallo di confidenza della media sperimentale di ogni grandezza guardando ai file prodotti dalla simulazione e salvati nella cartella `output` nella root del progetto.
- `costs_analysis.py`: effettua l'analisi dei costi e dei guadagni a partire dai valori teorici ottenuti. Questi parametri devono essere configurati all'interno del codice.
- `graph_generator.py`: genera tutti i grafici mostrati nel corso della presentazione. Può crearli tutti contemporaneamente o uno per volta, specificando le opzioni opportune.

- `gaussian.py`: importa il file contenente la configurazione di default e grafica le gaussiane presentate nella sezione immagini.

6 Verifica

La fase di verifica serve a capire se, rispetto al modello, il programma implementato è corretto. Si è quindi confrontato il valore delle statistiche restituito dal simulatore con quelle teoriche e perciò si è fatto riferimento ai valori ottenuti da una esecuzione senza il peso gaussiano. I risultati ottenuti dall'esecuzione di `python simulation.py -s 123 -ngf [-wed]` differiscono leggermente da quelli teorici:

<i>B type</i>	Week		Weekend	
Statistica	Risultato teorico	Risultato sperimentale	Risultato teorico	Risultato sperimentale
avgInterarrivals	3.471 min	2.984 ± 0.076 min	2.413 min	2.494 ± 0.025 min
avgWaits	2.251 min	2.284 ± 0.047 min	2.524 min	2.266 ± 0.036 min
avgNumNodes	0.682 j	0.788 ± 0.029 j	1.102 j	0.801 ± 0.021 j
avgDelays	0.251 min	0.268 ± 0.014 min	0.524 min	0.286 ± 0.010 min
avgNumQueues	0.106 j	0.091 ± 0.008 j	0.273 j	0.103 ± 0.005 j
avgService (1)	2 min	1.724 ± 0.047 min	2 min	1.772 ± 0.035 min
avgService (2)	2 min	2.367 ± 0.039 min	2 min	2.216 ± 0.036 min

<i>P type</i>	Week		Weekend	
Statistica	Risultato teorico	Risultato sperimentale	Risultato teorico	Risultato sperimentale
avgInterarrivals	5.882 min	4.408 ± 0.160 min	2.000 min	1.846 ± 0.036 min
avgWaits	3.209 min	3.465 ± 0.116 min	6.857 min	5.667 ± 0.151 min
avgNumNodes	0.545 j	0.761 ± 0.042 j	3.429 j	2.962 ± 0.046 j
avgDelays	0.209 min	0.050 ± 0.008 min	3.857 min	2.514 ± 0.083 min
avgNumQueues	0.035 j	0.013 ± 0.003 j	1.929 j	1.316 ± 0.037 j
avgService (1)	3 min	2.918 ± 0.136 min	3 min	2.947 ± 0.116
avgService (2)	3 min	4.722 ± 0.201 min	3 min	3.361 ± 0.069 min

Il motivo di tale differenza va ricercato nella bassa frequenza di arrivo: infatti, all'interno di un singolo run di tipo *week*, i job processati di tipo *B* non arrivano a 300, mentre quelli di tipo *P* superano di poco i 50, rendendo le statistiche poco rappresentative. Perciò, si è definito un nuovo file di configurazione, il file `configurations/verify1.py`.

6.1 verify1.py

Per ovviare al problema del basso tasso di interarrivo, si è costruito il file di configurazione `verify1.py` che cerca di aumentare il numero di job di ogni tipologia processati nel singolo *run*. Per farlo, sono state impostate le seguenti frequenze di interarrivo, cercando di abbattere anche il contributo di una eccessiva variabilità tra le fasce:

Fascia oraria	$\lambda_{B,W}$	$\lambda_{P,W}$
07:00 → 11:00	4.2 j/s	X
11:00 → 15:00	4.2 j/s	X
18:00 → 19:00	2.1 j/s	X
19:00 → 23:00	2.1 j/s	2 j/s
23:00 → 02:00	2.1 j/s	X

Altre configurazioni cambiate sono le seguenti:

configurations/verify1.py

```
# per esprimere i tempi in secondi:
SLOTSTIME = [ (i * 3600) for i in [7, 11, 15, 18, 19, 23] ]
STOP_B = 26 * 3600
# per rendere il sistema stabile anche dal punto di vista
  analitico
MEAN_SERVICE_TIME_B = 0.5
MEAN_SERVICE_TIME_P = 0.5
# i lambda:
WEEK_LAMBDA_B = [2, 2, 0, 3, 3, 3]
WEEK_LAMBDA_P = 1.7
```

Eseguendo il comando `python simulation.py -s 123 -ngf -cf configurations/verify1.py`, si ottengono i seguenti risultati:

<i>B type</i>	Week	
Statistica	Risultato teorico	Risultato sperimentale
avgInterarrivals	0.317 s	0.466 \pm 0.002 s
avgWaits	0.415 s	0.337 \pm 0.000 s
avgNumNodes	1.394 j	0.739 \pm 0.008 j
avgDelays	0.115 s	0.037 \pm 0.000 s
avgNumQueues	0.449 j	0.083 \pm 0.000 j
avgService (1)	0.3 s	0.300 \pm 0.000 s
avgService (2)	0.3 s	0.300 \pm 0.000 s

<i>P type</i>	Week	
Statistica	Risultato teorico	Risultato sperimentale
avgInterarrivals	0.588 s	0.593 \pm 0.000 s
avgWaits	0.610 s	0.603 \pm 0.000 s
avgNumNodes	1.037 j	1.017 \pm 0.001 j
avgDelays	0.110 s	0.105 \pm 0.000 s
avgNumQueues	0.187 j	0.176 \pm 0.000 j
avgService (1)	0.5 s	0.496 \pm 0.000 s
avgService (2)	0.5 s	0.501 \pm 0.000 s

Si può osservare come i valori teorici per le richieste di tipo *P*, che sono state in tutto 24407, cominciano a convergere ai valori teorici. Per le richieste di tipo *B*, nonostante siano state 181785, i valori ottenuti sono ancora lontani da quelli teorici.

Si può però osservare che la frequenza di interarrivo media nella prima metà della giornata è più piccola, e perciò il numero di job processati e di campioni fatti nelle prime 8 ore sarà minore rispetto a quelli fatti nelle seconde 8. Per questo motivo, nel calcolo della media globale, i dati delle statistiche raccolti nella prima metà della giornata tende a pesare di meno rispetto a quelli raccolti nella

seconda metà. Alla luce di questo comportamento, è stata aggiunta una nuova opzione, attiva per default, che serve a *spezzare* l'analisi media nelle due fasce orarie. In particolare, si raccolgono i dati in entrambe le metà separatamente, calcolando per ogni statistica la sua media e varianza per poi mediarle col numero di job processati:

$$\mu_{glob} = \frac{n_1\mu_1 + n_2\mu_2}{n_1 + n_2}$$

$$\sigma_{glob}^2 = \frac{n_1\sigma_1^2 + n_2\sigma_2^2}{n_1 + n_2}$$

Dove n_1 ed n_2 sono rispettivamente il numero di job processati nella prima e nella seconda metà, mentre μ_1 , σ_1^2 e μ_2 , σ_2^2 sono le medie e le varianze calcolate per le due metà. Per disabilitare questa funzione, bisogna specificare a riga comando il flag `-ns`.

Lanciando `python simulation.py -s 123 -ngf -cf configurations/verify1.py` senza aver cambiato nulla nel file di configurazione rispetto al caso precedente, si ottengono i seguenti risultati:

<i>B type</i> Statistica	Week	
	Risultato teorico	Risultato sperimentale
avgInterarrivals	0.400 s	0.399 ± 0.000 s
avgWaits	0.353 s	0.355 ± 0.000 s
avgNumNodes	0.894 j	0.938 ± 0.000 j
avgDelays	0.053 s	0.055 ± 0.000 s
avgNumQueues	0.144 j	0.156 ± 0.000 j
avgService (1)	0.3 s	0.300 ± 0.000 s
avgService (2)	0.3 s	0.299 ± 0.000 s

Anche per le richieste di tipo "B", adesso i risultati convergono a quelli teorici.

6.2 Verifica dello scheduling

È stato esaminato anche un altro aspetto importante, ovvero la politica di schedulazione utilizzata. Per valutarla, è stato eseguito il seguente comando:

```
python simulation.py -s 123 -ngf -cf configurations/verify1.py -cc servers_b 10 -cc servers_p 10
```

I risultati ottenuti da questa configurazione sono riportati di seguito:

```
for 144427 jobs in the Bar and 28075 sample:
  statistic      mean      variance      conf int
  avg interarrivals .. : 0.399      0.000      0.000
  avg wait ..... : 0.300      0.000      0.000
  avg # in node ..... : 0.782      0.000      0.000
  avg delay ..... : 0.000      0.000      0.000
  avg # in queue ..... : 0.000      0.000      0.000

the server statistics are:
  server  utilization  avg service +/- w  share
  1        0.078        0.298 +/- 0.000    0.100
  2        0.078        0.298 +/- 0.000    0.100
  3        0.079        0.304 +/- 0.000    0.100
  4        0.078        0.300 +/- 0.000    0.100
  5        0.079        0.302 +/- 0.000    0.100
  6        0.078        0.298 +/- 0.000    0.100
  7        0.077        0.295 +/- 0.000    0.100
  8        0.078        0.300 +/- 0.000    0.100
  9        0.080        0.305 +/- 0.000    0.100
  10       0.078        0.298 +/- 0.000    0.100
```

```
for 24407 jobs in the Pizzeria and 7495 sample:
  statistic      mean      variance      conf int
  avg interarrivals .. : 0.593      0.000      0.000
  avg wait ..... : 0.498      0.000      0.000
  avg # in node ..... : 0.840      0.000      0.000
  avg delay ..... : -0.000      0.000      0.000
  avg # in queue ..... : -0.000      0.000      0.000

the server statistics are:
  server  utilization  avg service +/- w  share
  12        0.458        0.502 +/- 0.000    0.542
  13        0.252        0.501 +/- 0.000    0.299
  14        0.097        0.489 +/- 0.000    0.117
  15        0.026        0.463 +/- 0.001    0.033
  16        0.006        0.476 +/- 0.001    0.008
  17        0.001        0.382 +/- 0.003    0.001
  18        0.000        0.283 +/- 0.006    0.000
  19        0.000        0.152 +/- 0.004    0.000
  20        0.000        0.163 +/- 0.007    0.000
  21        0.000        0.000 +/- 0.000    0.000
```

Dai risultati relativi all'utilizzazione, al tempo medio di servizio e alla condivisione delle risorse, emerge chiaramente il rispetto delle specifiche prestabilite: infatti tutti i server di tipo "B" presentano

valori simili per tutte le grandezze in esame mentre per i server di tipo "P" si osserva una tendenza al decremento dei valori all'aumentare dell'indice del server.

6.3 Conclusione

Sulla base dei risultati ottenuti dagli esperimenti condotti, è possibile trarre la conclusione che il simulatore dimostra una buona capacità di adattamento ai cambiamenti di configurazione. Inoltre, utilizzando un numero sufficiente di job nella simulazione, si osserva che il simulatore è in grado di produrre risultati coerenti con le previsioni teoriche. Ciò suggerisce che il simulatore è fedele al modello del sistema in esame e offre una rappresentazione affidabile del comportamento del sistema stesso

7 Validazione

Nella fase di validazione il quesito fondamentale è: "Stiamo costruendo il prodotto giusto?" Tuttavia, durante il processo di validazione, si sono riscontrate delle sfide significative nell'utilizzo dell'analisi a orizzonte finito, principalmente dovute al numero limitato di job processati. Un aspetto critico che ha reso l'analisi a orizzonte finito inadeguata è il basso numero di job processati in ciascun *run* di simulazione, una caratteristica intrinseca del caso di studio in esame. Questa limitazione ha comportato un campione statistico ridotto e, di conseguenza, una maggiore variabilità nei risultati osservati. In altre parole, la variabilità è emersa come una problematica principale a causa della limitata quantità di dati disponibili.

È importante notare che, in un contesto in cui avessimo processato un numero significativamente maggiore di job in ogni run, la variabilità non avrebbe avuto un impatto significativo.

Per affrontare questa sfida, si è deciso di adottare un'analisi a orizzonte infinito in modo da ottenere risultati più stabili. In questa fase di validazione, verifichiamo se, per ciascuna fascia oraria, le statistiche generate dal nostro simulatore convergono ai valori teorici, considerati come punti di riferimento per il nostro sistema. Questo approccio ci assicura che il sistema software risponda alle caratteristiche previste e ai requisiti desiderati.

7.1 Analisi a orizzonte infinito

Per condurre un'analisi a orizzonte infinito, è necessario utilizzare i seguenti comandi:

- `make infinite-week`: esegue `python3 simulation.py -ih -s 123 -of week`. Effettua l'analisi per il giorno lavorativo della settimana.
- `make infinite-weekend`: esegue `python3 simulation.py -ih -s 123 -wed -of weekend`. Effettua l'analisi per il fine settimana.

È fondamentale notare che, prima di eseguire questi comandi, è consigliabile eliminare eventuali file di output CSV già presenti al fine di evitare confusione nei risultati.

Per determinare i parametri dell'analisi, è possibile specificare il flag `-fb THRESHOLD`, il quale consente di determinare dinamicamente il numero di campioni da raccogliere per ogni batch. Il parametro `THRESHOLD` specifica che il valore di autocorrelazione per lag $j = 1$ di ogni statistica non deve superare quel valore. Utilizzando `k = 128` batches, ciascuno con `b = 1024` campioni, l'autocorrelazione

per lag $j = 1$ è inferiore a 0.2, contribuendo così alla stabilità e all'affidabilità dei risultati.

L'analisi viene condotta per ciascun tipo di richiesta e per ciascuna statistica di interesse, coprendo tutte le fasce orarie sia nei giorni lavorativi che nei giorni del fine settimana. I risultati vengono presentati in forma tabellare e grafica; in particolare, nelle tabelle si riportano i risultati sperimentali ottenuti mediando su tutti i batch con un intervallo di confidenza al 95%.

<i>B type - Interarrivals</i>						
	Slot	Risultato teorico	Risultato sperimentale	Media nell'intervallo	Errore	Link all'immagine
Week	0	2.000 min	2.000 ± 0.014 min	✓		link
	1	4.762 min	4.950 ± 0.389 min	✓		link
	3	2.381 min	2.614 ± 0.477 min	✓		link
	4	4.762 min	5.154 ± 0.811 min	✓		link
	5	5.882 min	6.217 ± 0.074 min	✓		link
Weekend	0	2.000 min	2.000 ± 0.014 min	✓		link
	1	2.941 min	3.091 ± 0.322 min	✓		link
	3	1.333 min	1.460 ± 0.259 min	✓		link
	4	2.667 min	2.794 ± 0.268 min	✓		link
	5	2.941 min	3.065 ± 0.285 min	✓		link

<i>B type - Waits</i>							
	Slot	Risultato teorico	Risultato sperimentale	Media nell'intervallo	Errore	Link all'immagine	Rispetta QoS
Week	0	2.667 min	2.665 ± 0.035 min	✓		link	✓
	1	2.092 min	2.083 ± 0.018 min	✓		link	✓
	3	2.428 min	2.440 ± 0.027 min	✓		link	✓
	4	2.092 min	2.086 ± 0.021 min	✓		link	✓
	5	2.060 min	2.067 ± 0.023 min	✓		link	✓
Weekend	0	2.667 min	2.665 ± 0.035 min	✓		link	✓
	1	2.261 min	2.257 ± 0.024 min	✓		link	✓
	3	4.571 min	4.499 ± 0.115 min	✓		link	✗
	4	2.327 min	2.339 ± 0.031 min	✓		link	✓
	5	2.261 min	2.246 ± 0.025 min	✓		link	✓

<i>B type - Num. in the nodes</i>						
	Slot	Risultato teorico	Risultato sperimentale	Media nell'intervallo	Errore	Link all'immagine
Week	0	1.333 min	1.336 ± 0.021 min	✓		link
	1	0.439 min	0.440 ± 0.006 min	✓		link
	3	1.020 min	1.031 ± 0.016 min	✓		link
	4	0.439 min	0.440 ± 0.007 min	✓		link
	5	0.350 min	0.355 ± 0.005 min	✓		link
Weekend	0	1.333 min	1.336 ± 0.021 min	✓		link
	1	0.769 min	0.773 ± 0.011 min	✓		link
	3	3.429 min	3.399 ± 0.095 min	✓		link
	4	0.873 min	0.881 ± 0.014 min	✓		link
	5	0.769 min	0.769 ± 0.011 min	✓		link

<i>B type - Delays</i>						
	Slot	Risultato teorico	Risultato sperimentale	Media nell'intervallo	Errore	Link all'immagine
Week	0	0.667 min	0.671 \pm 0.027 min	✓		link
	1	0.092 min	0.100 \pm 0.006 min	✗	0.002	link
	3	0.428 min	0.455 \pm 0.019 min	✗	0.008	link
	4	0.092 min	0.098 \pm 0.007 min	✓		link
	5	0.060 min	0.072 \pm 0.007 min	✗	0.005	link
Weekend	0	0.667 min	0.671 \pm 0.027 min	✓		link
	1	0.261 min	0.268 \pm 0.014 min	✓		link
	3	2.571 min	2.519 \pm 0.108 min	✓		link
	4	0.327 min	0.342 \pm 0.020 min	✓		link
	5	0.261 min	0.265 \pm 0.014 min	✓		link

<i>B type - Num. in the queue</i>						
	Slot	Risultato teorico	Risultato sperimentale	Media nell'intervallo	Errore	Link all'immagine
Week	0	0.333 min	0.339 \pm 0.015 min	✓		link
	1	0.019 min	0.021 \pm 0.001 min	✗	0.001	link
	3	0.180 min	0.194 \pm 0.005 min	✗	0.009	link
	4	0.019 min	0.021 \pm 0.001 min	✗	0.001	link
	5	0.010 min	0.013 \pm 0.001 min	✗	0.002	link
Weekend	0	0.333 min	0.339 \pm 0.015 min	✓		link
	1	0.089 min	0.093 \pm 0.005 min	✓		link
	3	1.929 min	1.910 \pm 0.087 min	✓		link
	4	0.123 min	0.130 \pm 0.008 min	✓		link
	5	0.089 min	0.092 \pm 0.005 min	✓		link

<i>P type - all statistics in the slot</i>							
	Statistica	Risultato teorico	Risultato sperimentale	Media nell'intervallo	Errore	Link all'immagine	Rispetta QoS
Week	Interarrivo	5.882 min	6.145 \pm 0.499 min	✓		link	✓
	Attesa	3.209 min	3.223 \pm 0.038 min	✓		link	
	Num. nel nodo	0.545 min	0.548 \pm 0.009 min	✓		link	
	Ritardo	0.209 min	0.229 \pm 0.017 min	✗	0.003	link	
	Num. in coda	0.035 min	0.040 \pm 0.003 min	✗	0.002	link	
Weekend	Interarrivo	2.000 min	2.114 \pm 0.228 min	✓		link	✓
	Attesa	6.867 min	6.979 \pm 0.281 min	✓		link	
	Num. nel nodo	3.429 min	3.505 \pm 0.150 min	✓		link	
	Ritardo	3.857 min	3.985 \pm 0.267 min	✓		link	
	Num. in coda	1.929 min	2.010 \pm 0.139 min	✓		link	

L'analisi a orizzonte infinito ha dimostrato che la maggior parte dei risultati converge in modo affidabile ai valori teorici previsti per il caso di studio in esame, confermando così l'accuratezza del nostro simulatore nel rappresentare il comportamento del sistema in uno stato stazionario. Tuttavia, un aspetto interessante emerge quando ripetiamo l'analisi utilizzando un seme iniziale diverso, specificamente il seme 12345, con il comando `make clean infinite-weekend SEED=12345`. In questo caso, notiamo che la maggior parte degli errori viene azzerata, e gli altri risultano notevolmente ridotti. Questo suggerisce che il caso con il seme iniziale pari a 123 potrebbe essere considerato come un caso particolarmente sfortunato per l'analisi delle statistiche.

È interessante notare anche che nei casi in cui la frequenza di arrivo è leggermente più alta, come nel fine settimana, questi errori risultano azzerati anche con lo stesso seme 123. Ciò evidenzia come la bassa frequenza di arrivo possa influenzare la precisione delle stime di queste grandezze, persino nell'analisi a orizzonte infinito.

8 Analisi dei costi e dei guadagni

Per effettuare l'analisi dei costi e dei guadagni sul caso di studio in esame è stata eseguita un'analisi a orizzonte finito che, seppur poco rappresentativa in ambito di validazione, è quella che permette effettivamente di valutare le entrate e le uscite per un sistema con queste specifiche.

8.1 Analisi a orizzonte finito

Utilizzando questo approccio, il sistema è stato simulato per un periodo di 16 ore lavorative effettive, tenendo conto delle variazioni nei tassi di arrivo durante le diverse fasce orarie. Affinché l'analisi a orizzonte infinito sia affidabile, è fondamentale che lo stato iniziale e quello finale del sistema siano identici. Nel contesto specifico, la simulazione inizia e termina senza che ci siano richieste nel sistema.

Per ottenere risultati robusti per l'analisi a orizzonte infinito, la simulazione di una giornata lavorativa è stata eseguita per 1024 iterazioni. In ciascuna di esse sono state ripristinate tutte le statistiche mentre lo stato del generatore di numeri casuali è stato mantenuto inalterato. Questo approccio assicura l'indipendenza tra le diverse esecuzioni.

Anche in questo caso, è stata condotta un'analisi separata per ciascun tipo di richiesta, considerando i tempi di risposta con e senza l'introduzione del fattore gaussiano. I risultati sono stati presentati in forma tabellare e grafica, con le tabelle che riportano i risultati sperimentali ottenuti mediante la media di tutti i *run*, con un intervallo di confidenza del 95%.

Analisi senza fattore gaussiano							
	Statistica	Risultato teorico	Risultato sperimentale	Media nell'intervallo	Errore	Link all'immagine	Rispetta QoS
Week	Attesa di tipo B	2.251 min	2.455 ± 0.023 min	✗	0.181	link	✓
	Attesa di tipo P	3.209 min	3.212 ± 0.049 min	✓		link	✓
Weekend	Attesa di tipo B	2.524 min	2.761 ± 0.032 min	✗	0.205	link	✓
	Attesa di tipo P	6.857 min	5.813 ± 0.150 min	✗	0.894	link	✓

Analisi con fattore gaussiano							
	Statistica	Risultato teorico	Risultato sperimentale	Media nell'intervallo	Errore	Link all'immagine	Rispetta QoS
Week	Attesa di tipo B	2.251 min	2.184 ± 0.027 min	✗	0.040	link	✓
	Attesa di tipo P	3.209 min	3.082 ± 0.078 min	✗	0.049	link	✓
Weekend	Attesa di tipo B	2.524 min	2.987 ± 0.075 min	✗	0.388	link	✓
	Attesa di tipo P	6.857 min	3.209 ± 0.056 min	✗	3.592	link	✓

Come previsto dalle osservazioni precedenti, il valore teorico raramente rientra nell'intervallo di confidenza della statistica sperimentale. Tuttavia, con la configurazione che prevede $m_B = 2$, tutti i requisiti di Qualità del Servizio (QoS) sono costantemente rispettati. È importante notare che la scelta di $m_B = 1$ non rende il sistema stabile nella prima fascia oraria, in cui $\lambda_B = 0.5j/min$. Per un unico server, infatti:

$$\rho = \lambda E(S) = 0.5 j/min \cdot 2 min = 1$$

Quindi, la scelta di $m_B = 2$ appare come la più logica, in quanto rappresenta il valore minimo di m che garantisce il rispetto dei QoS.

Inoltre, anche le utilizzazioni dei server sono accettabili e vengono riportate insieme ai valori delle altre grandezze nelle seguenti immagini:

```
python3 simulation.py -fh -s 123 -of week -ngf
Sample List statistics are:
for 275 jobs in the Bar and 1024 sample:
  statistic      mean      variance      conf int
  avg interarrivals .. : 2.822      0.066      0.016
  avg wait ..... : 2.455      0.141      0.023
  avg # in node ..... : 1.009      0.047      0.013
  avg delay ..... : 0.450      0.078      0.017
  avg # in queue ..... : 0.206      0.021      0.009

the server statistics are:
server  utilization      avg service +/- w      share
1      0.417      2.022 +/- 0.014      0.520
2      0.412      2.028 +/- 0.015      0.511

for 41 jobs in the Pizzeria and 1024 sample:
  statistic      mean      variance      conf int
  avg interarrivals .. : 5.477      1.088      0.064
  avg wait ..... : 3.212      0.646      0.049
  avg # in node ..... : 0.579      0.034      0.011
  avg delay ..... : 0.191      0.091      0.018
  avg # in queue ..... : 0.038      0.004      0.004

the server statistics are:
server  utilization      avg service +/- w      share
4      0.406      3.070 +/- 0.048      0.763
5      0.172      2.928 +/- 0.077      0.300
```

Week day - senza fattore gaussiano

```
python3 simulation.py -fh -s 123 -of week_gauss
Sample List statistics are:
for 77 jobs in the Bar and 1024 sample:
  statistic      mean      variance      conf int
  avg interarrivals .. : 9.765      20.011      0.274
  avg wait ..... : 2.184      0.201      0.027
  avg # in node ..... : 0.397      0.022      0.009
  avg delay ..... : 0.142      0.051      0.014
  avg # in queue ..... : 0.037      0.005      0.004

the server statistics are:
server  utilization      avg service +/- w      share
1      0.198      2.039 +/- 0.029      0.542
2      0.190      2.067 +/- 0.027      0.512

for 10 jobs in the Pizzeria and 1024 sample:
  statistic      mean      variance      conf int
  avg interarrivals .. : 18.431      62.339      0.484
  avg wait ..... : 3.082      1.605      0.078
  avg # in node ..... : 0.188      0.007      0.005
  avg delay ..... : 0.012      0.004      0.004
  avg # in queue ..... : 0.001      0.000      0.000

the server statistics are:
server  utilization      avg service +/- w      share
4      0.179      3.076 +/- 0.081      0.974
5      0.022      1.494 +/- 0.119      0.105
```

Week day - con fattore gaussiano

```
python3 simulation.py -fh -s 123 -of weekend -wed -ngf
Sample List statistics are:
for 395 jobs in the Bar and 1024 sample:
  statistic      mean      variance      conf int
  avg interarrivals .. : 2.118      0.022      0.009
  avg wait ..... : 2.761      0.271      0.032
  avg # in node ..... : 1.387      0.103      0.020
  avg delay ..... : 0.762      0.202      0.028
  avg # in queue ..... : 0.403      0.068      0.016

the server statistics are:
server  utilization      avg service +/- w      share
1      0.508      2.016 +/- 0.012      0.517
2      0.504      2.020 +/- 0.013      0.511

for 116 jobs in the Pizzeria and 1024 sample:
  statistic      mean      variance      conf int
  avg interarrivals .. : 2.146      0.064      0.015
  avg wait ..... : 5.813      5.970      0.150
  avg # in node ..... : 2.735      1.518      0.076
  avg delay ..... : 2.749      4.756      0.134
  avg # in queue ..... : 1.327      1.176      0.067

the server statistics are:
server  utilization      avg service +/- w      share
4      0.809      3.121 +/- 0.035      0.585
5      0.682      3.089 +/- 0.039      0.484
```

Weekend day - senza fattore gaussiano

```
python3 simulation.py -fh -s 123 -of weekend_gauss -wed
Sample List statistics are:
for 120 jobs in the Bar and 1024 sample:
  statistic      mean      variance      conf int
  avg interarrivals .. : 6.439      14.626      0.235
  avg wait ..... : 2.987      1.488      0.075
  avg # in node ..... : 0.904      0.340      0.036
  avg delay ..... : 0.962      1.239      0.068
  avg # in queue ..... : 0.378      0.230      0.029

the server statistics are:
server  utilization      avg service +/- w      share
1      0.284      2.049 +/- 0.022      0.532
2      0.276      2.044 +/- 0.022      0.512

for 31 jobs in the Pizzeria and 1024 sample:
  statistic      mean      variance      conf int
  avg interarrivals .. : 6.899      3.645      0.117
  avg wait ..... : 3.209      0.826      0.056
  avg # in node ..... : 0.476      0.027      0.010
  avg delay ..... : 0.172      0.095      0.019
  avg # in queue ..... : 0.029      0.003      0.003

the server statistics are:
server  utilization      avg service +/- w      share
4      0.347      3.091 +/- 0.054      0.798
5      0.127      2.755 +/- 0.082      0.271
```

Weekend day - con fattore gaussiano

Il numero di job presente nelle immagini precedenti rappresenta la media dei job processati in diverse esecuzioni e verrà utilizzato successivamente come numero di richieste giornaliere nell'analisi dei costi. I calcoli sono stati effettuati su base mensile (4 settimane), e quindi le grandezze giornaliere sono state convertite di conseguenza. Le configurazioni utilizzate sono quelle di default presenti nel file configurations/Config.py.

8.2 Analisi delle spese

Spesa	Valore	Contributo mensile
Baristi	40,00€ al giorno per barista	$40,00 \cdot 28 \cdot 2 = 2.240,00$ € al mese
Pizzaiolo	40,00€ al giorno	$50,00 \cdot 28 = 1400$ € al mese
Bollette	2.750,00€ al mese	2.750,00€ al mese
Affitto	1.500,00€ al mese	1.500,00€ al mese
Fornitori	2.000,00€ al mese	2.000,00€ al mese
Totale		12.970,00€

8.3 Analisi dei guadagni

8.3.1 Senza fattore gaussiano

Tipo richiesta	Richieste <i>week</i>	Richieste <i>weekend</i>	Guadagno	Contributo mensile	Con IVA al 10%
Tipo B	275	395	5,00 € a richiesta	$(275 \cdot 5 + 395 \cdot 2) \cdot 5,00 \cdot 4 = 43.300,00\text{€}$ al mese	$43.300,00 \cdot 0.9 = 38.970,00\text{€}$
Tipo P	41	116	10 € a richiesta	$(41 \cdot 5 + 116 \cdot 2) \cdot 10,00 \cdot 4 = 17.480,00\text{€}$ al mese	$17.480 \cdot 0.9 = 15.732,00\text{€}$
Totale					54.702,00€

Il guadagno netto mensile risulta essere:

$$54.702,00 - 12.970,00 = 41.732,00\text{€}$$

8.3.2 Con fattore gaussiano

Tipo richiesta	Richieste <i>week</i>	Richieste <i>weekend</i>	Guadagno	Contributo mensile	Con IVA al 10%
Tipo B	77	120	5,00 € a richiesta	$(77 \cdot 5 + 120 \cdot 2) \cdot 5,00 \cdot 4 = 12.500,00\text{€}$ al mese	$12.500,00 \cdot 0.9 = 11.250,00\text{€}$
Tipo P	10	31	10,00 € a richiesta	$(10 \cdot 5 + 31 \cdot 2) \cdot 10,00 \cdot 4 = 4.480,00\text{€}$ al mese	$4.480,00 \cdot 0.9 = 4.032,00\text{€}$
Totale					15.282,00€

Il guadagno netto mensile risulta essere:

$$15.282,00 - 12.970,00 = 2.312,00\text{€}$$

8.4 Conclusioni

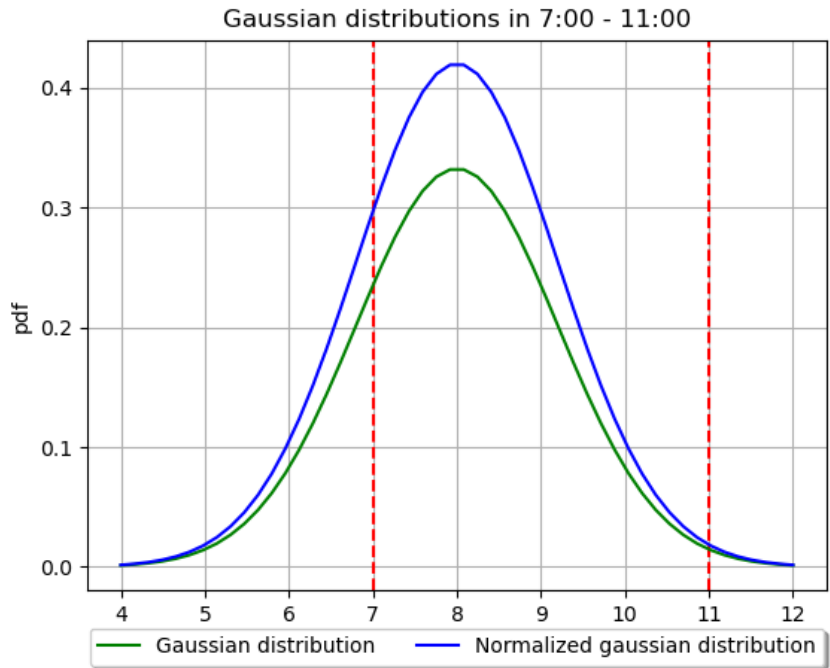
Nel caso in cui non si utilizzi la normalizzazione gaussiana, si osserva un guadagno netto mensile di 41.732 euro. Tuttavia, questo valore sembra essere ottimistico poiché non tiene conto di alcuna concentrazione delle richieste nelle diverse fasce orarie. Dall'altro lato, nel caso in cui si utilizzi la normalizzazione gaussiana, il guadagno mensile si riduce a 2.312 euro.

I risultati suggeriscono che la seconda cifra sia più realistica e rappresenti meglio la situazione effettiva, dato che l'arrivo delle richieste tende a concentrarsi maggiormente nelle diverse fasce orarie. In conclusione, la scelta di utilizzare la normalizzazione gaussiana sembra più aderente alla realtà operativa e produce una stima più conservativa dei guadagni mensili, che si attesta a 2.312 euro. Questo valore riflette meglio le condizioni operative del sistema in cui le richieste sono distribuite in modo più realistico nel corso della giornata.

9 Immagini

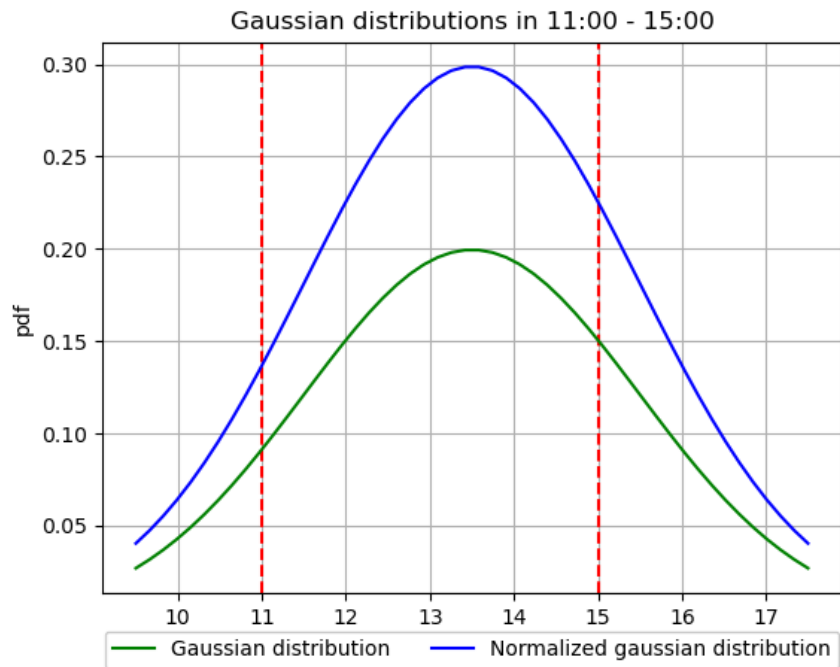
9.1 Distribuzioni gaussiane per gli arrivi

$$y = \frac{1}{\sqrt{2\pi}\sigma} e^{\frac{-(x-\mu)^2}{2\sigma^2}}$$



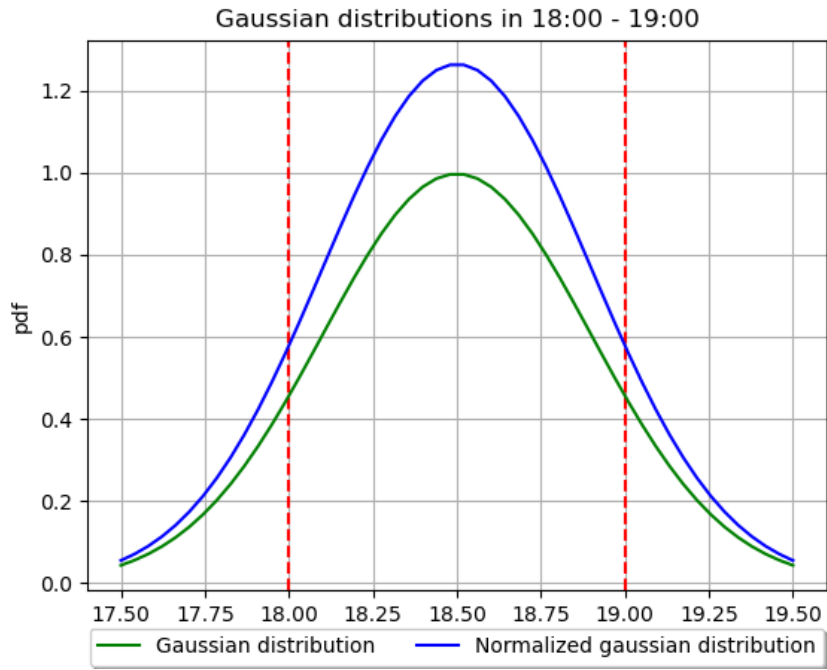
Fascia oraria: 07:00 → 11:00

$$\mu = 8; \sigma = 1.2$$



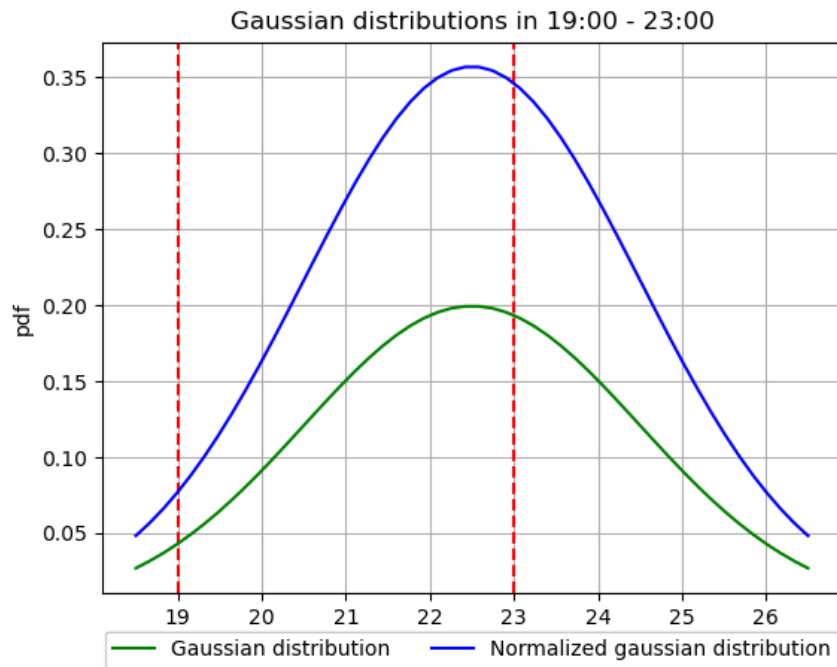
Fascia oraria: 11:00 → 15:00

$$\mu = 13.5; \sigma = 2$$



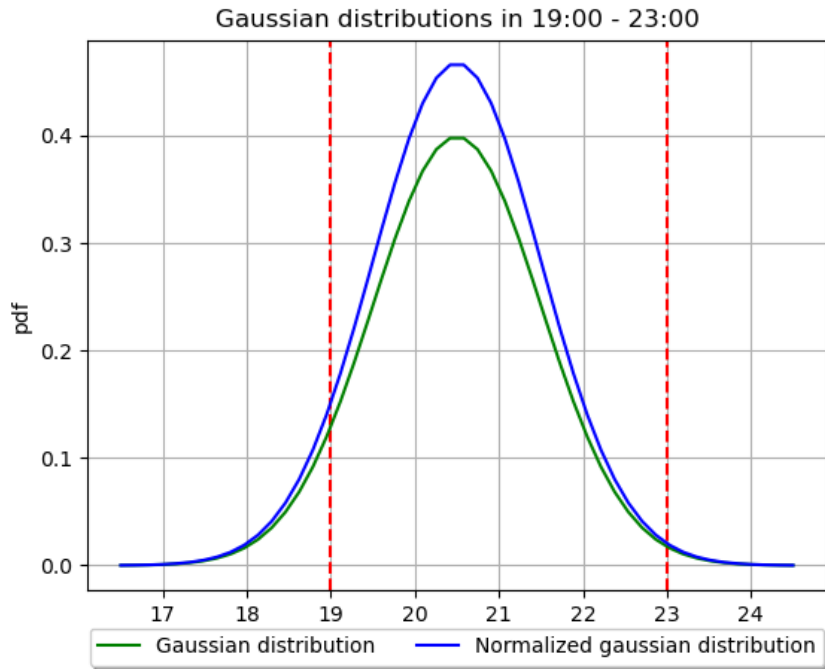
Fascia oraria: 18:00 → 19:00

$$\mu = 18.5; \sigma = 0.4$$



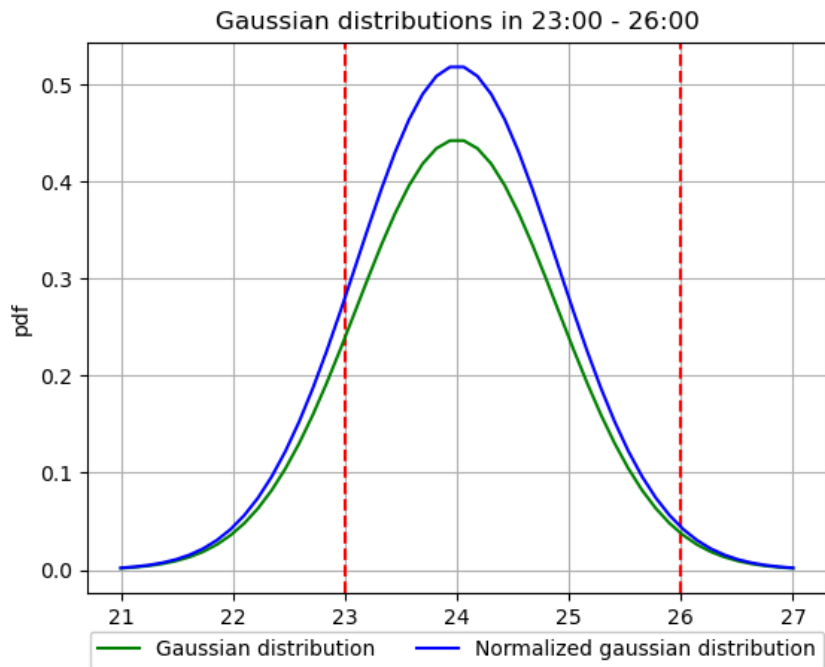
Fascia oraria: 19:00 → 23:00, bar

$$\mu = 22.5; \sigma = 2$$



Fascia oraria: 19:00 → 23:00, pizzeria

$$\mu = 20.5; \sigma = 1$$



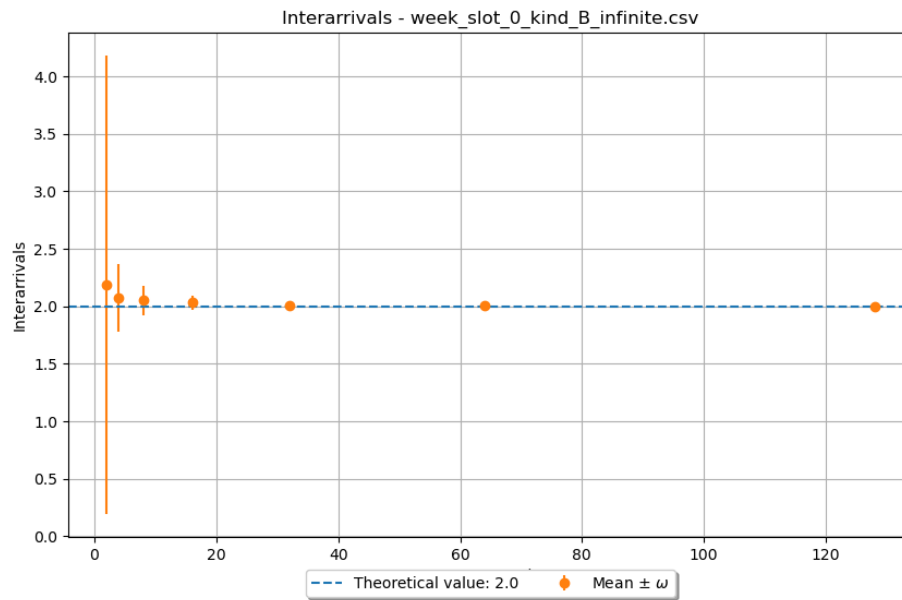
Fascia oraria: 23:00 → 02:00

$$\mu = 24; \sigma = 0.9$$

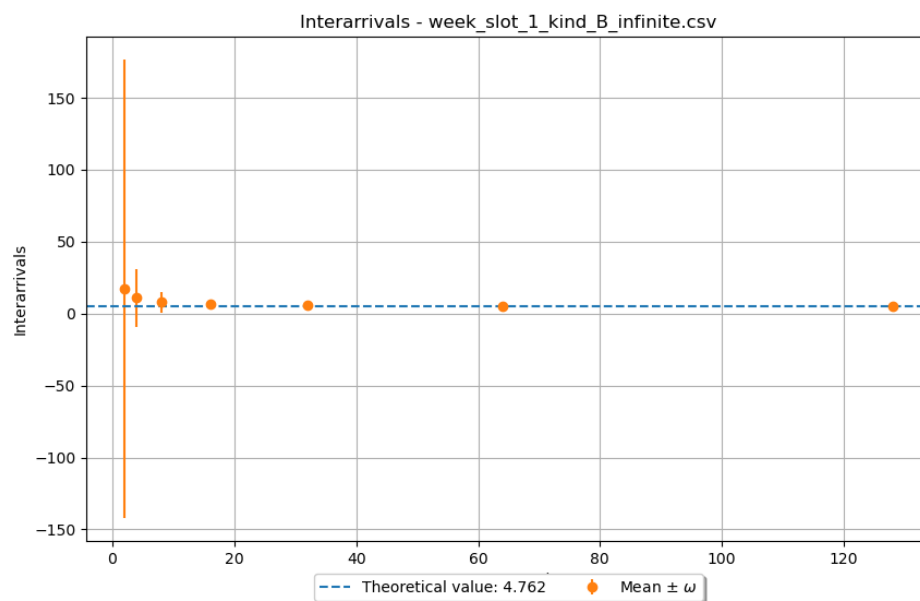
9.2 Interarrivi

9.2.1 Week - orizzonte infinito

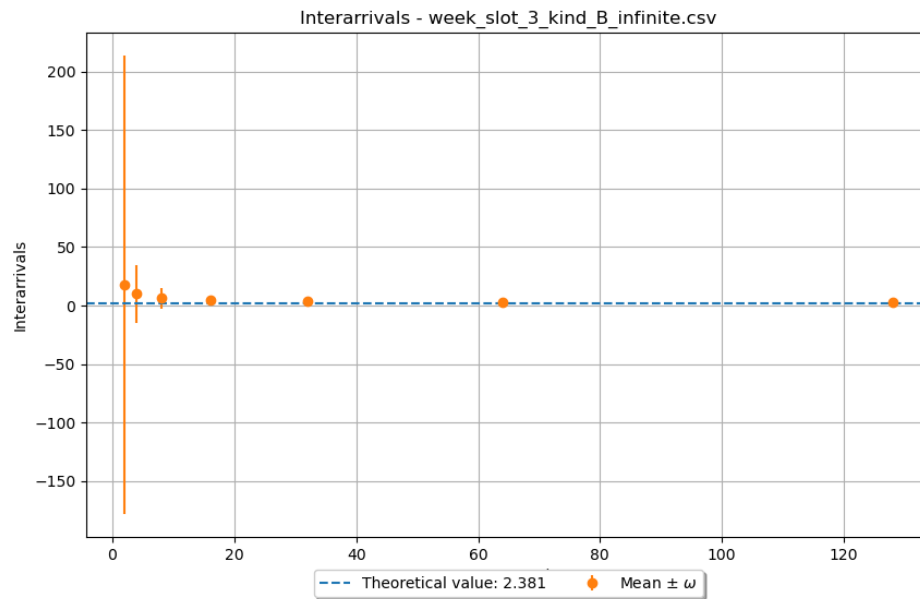
9.2.1.1 Slot 0



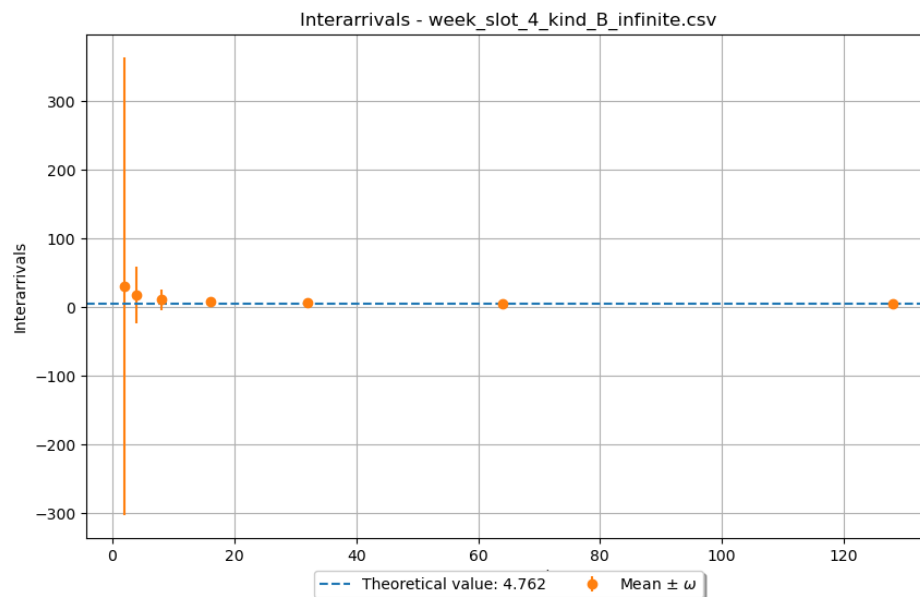
9.2.1.2 Slot 1



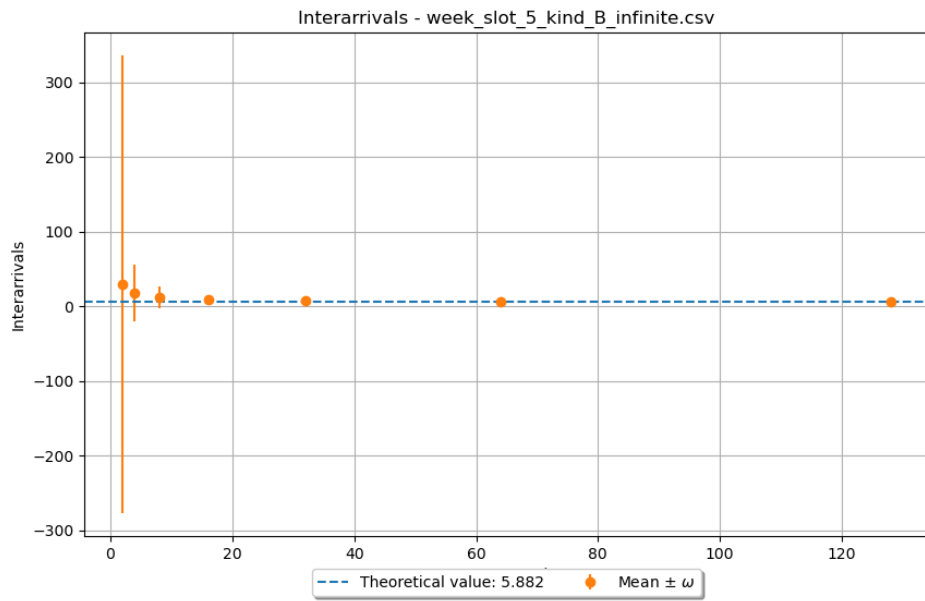
9.2.1.3 Slot 3



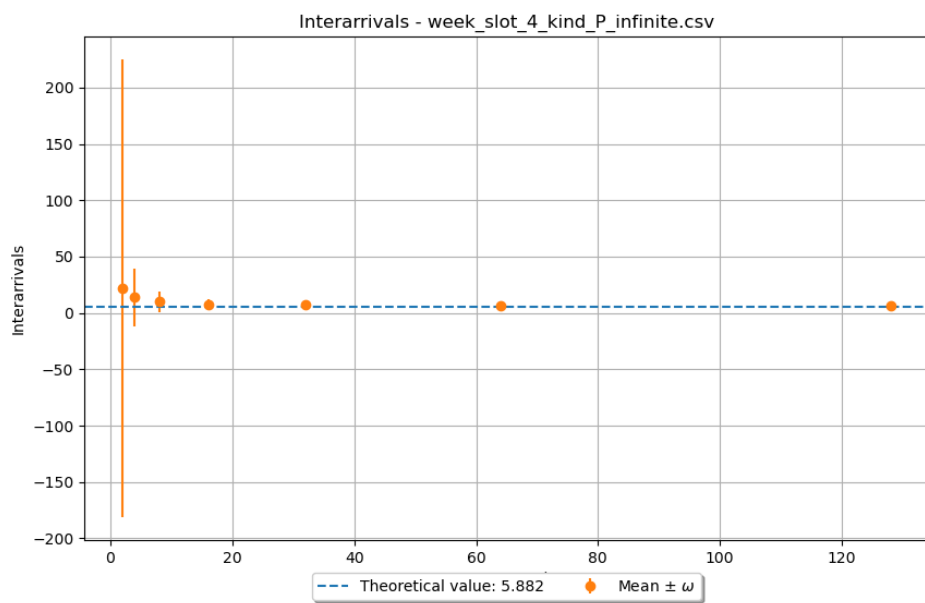
9.2.1.4 Slot 4



9.2.1.5 Slot 5

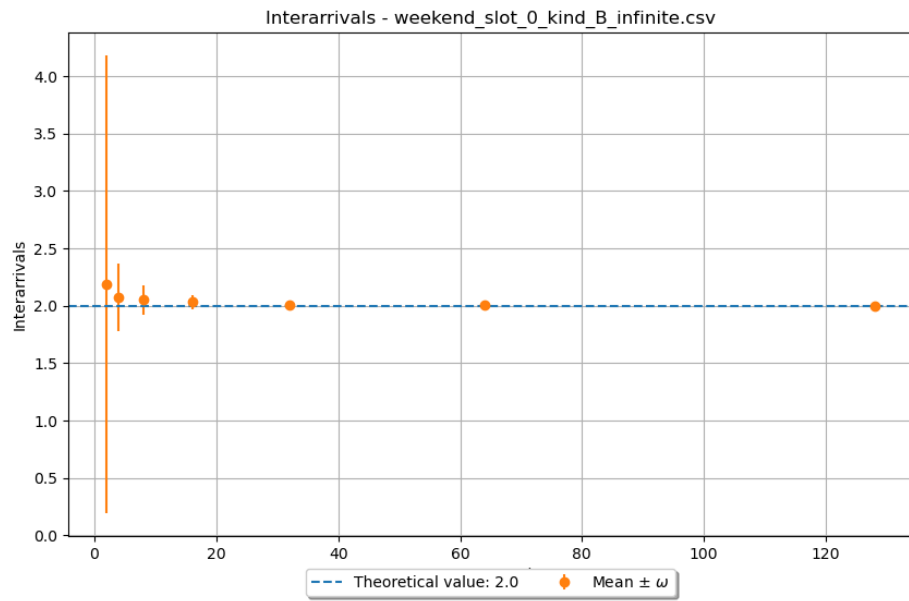


9.2.1.6 P

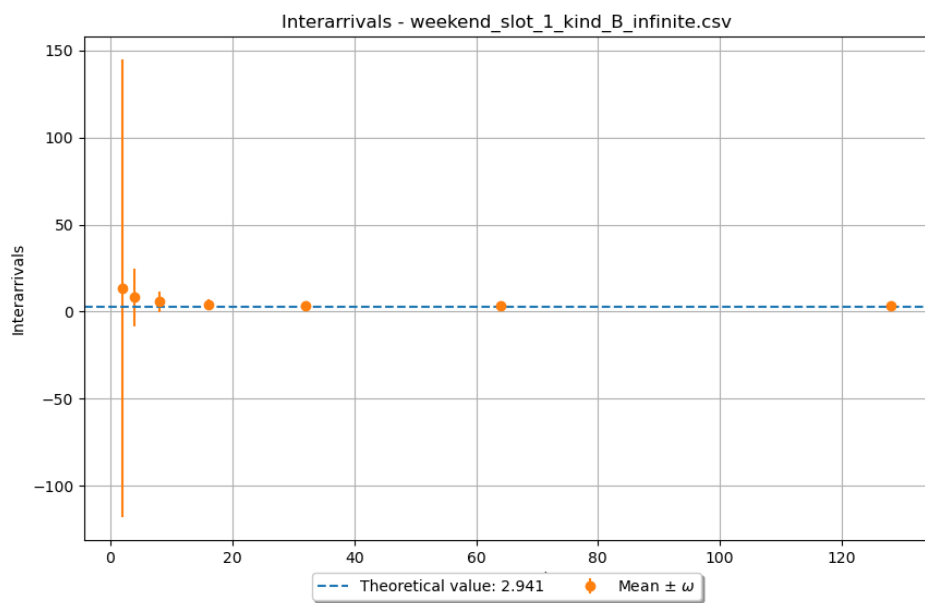


9.2.2 Weekend - orizzonte infinito

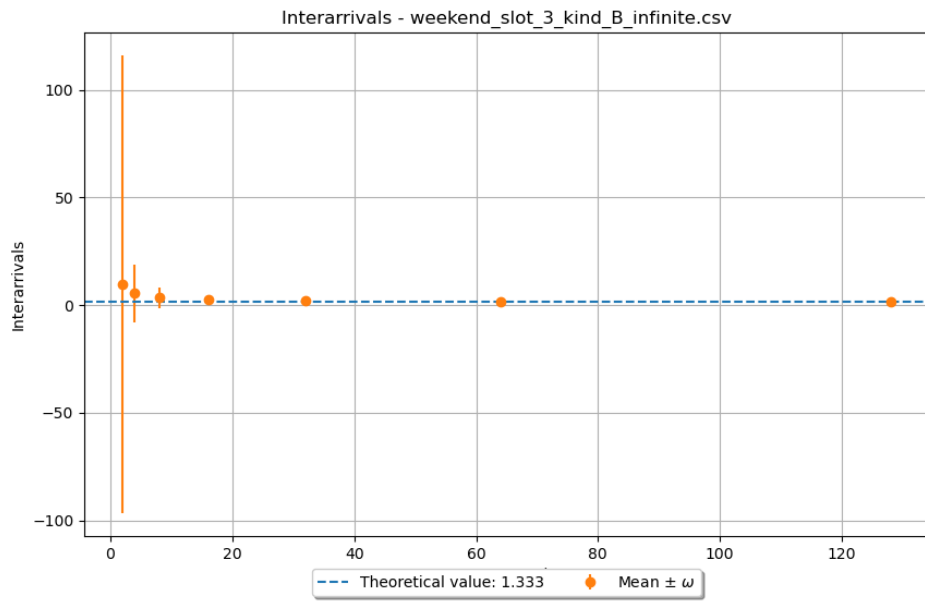
9.2.2.1 Slot 0



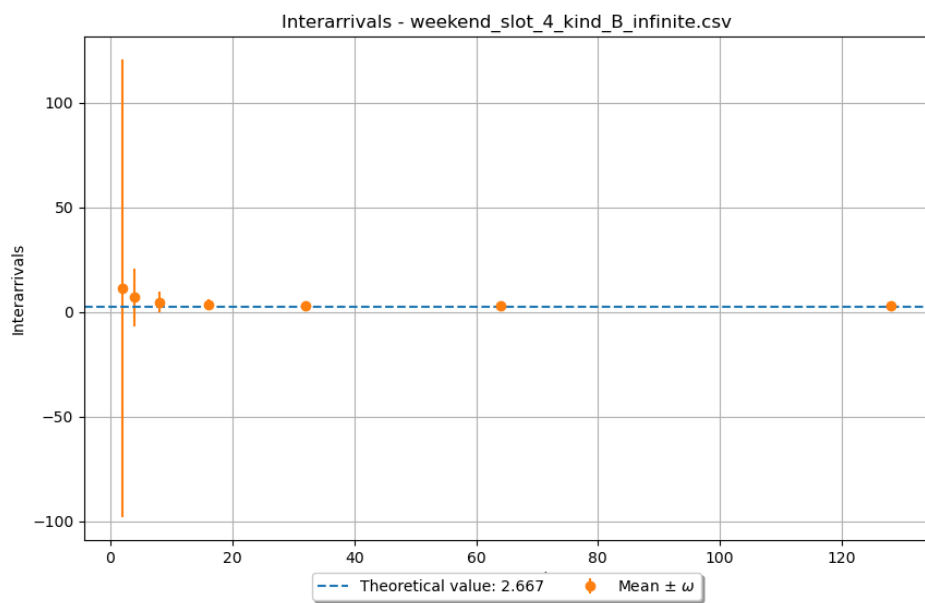
9.2.2.2 Slot 1



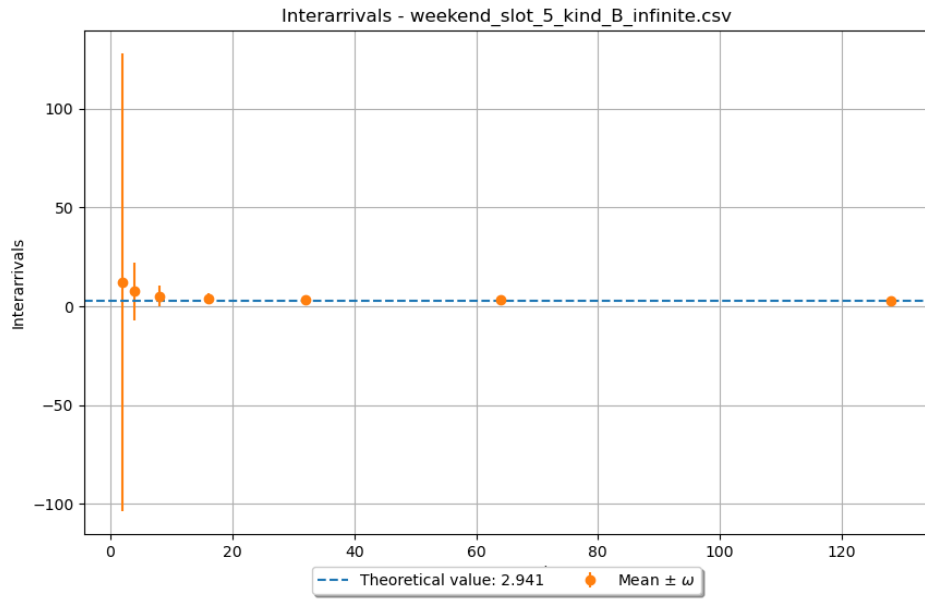
9.2.2.3 Slot 3



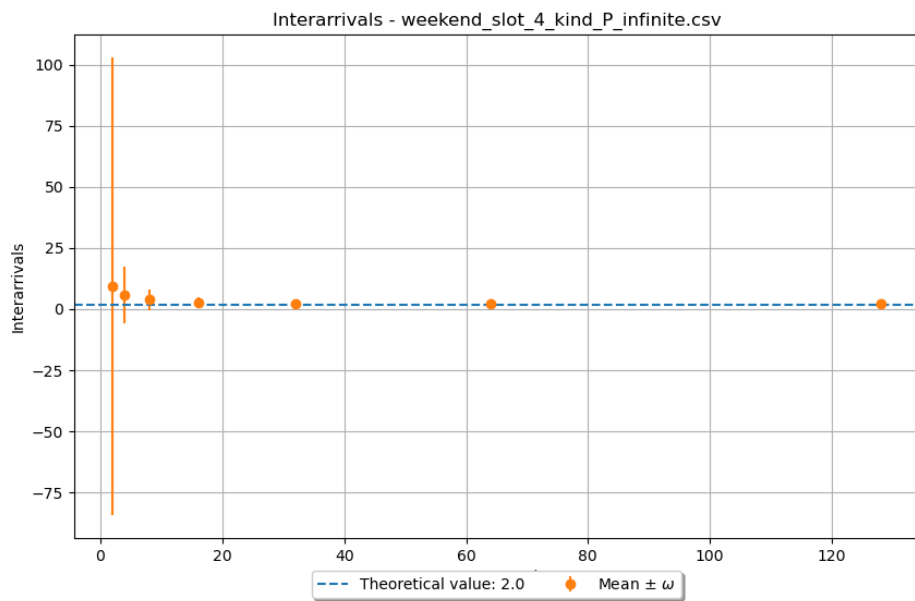
9.2.2.4 Slot 4



9.2.2.5 Slot 5



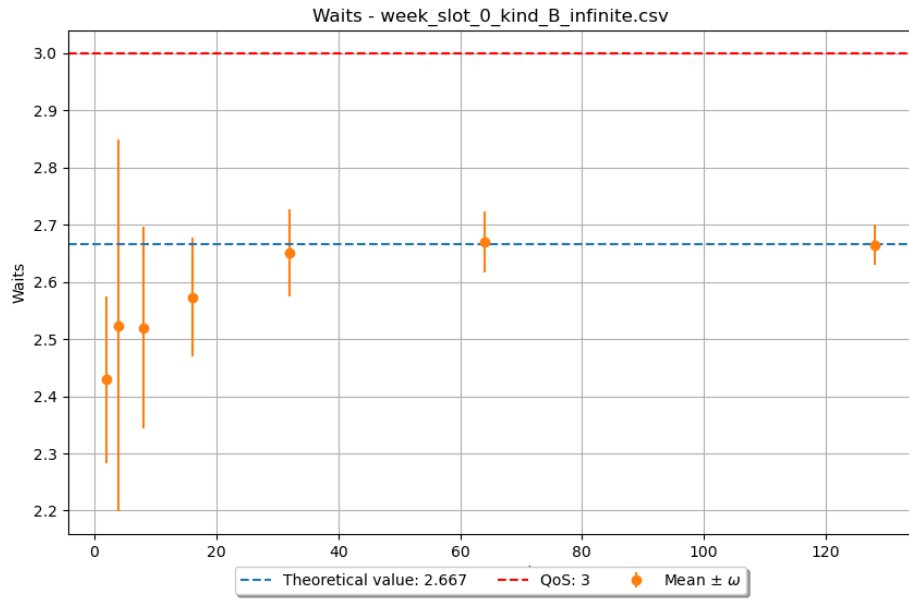
9.2.2.6 P



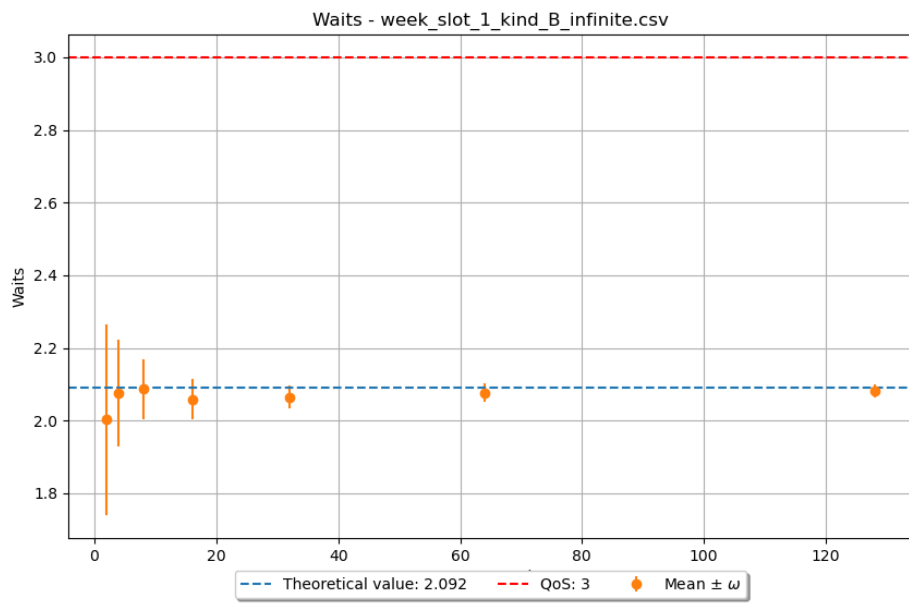
9.3 Attesa

9.3.1 Week - orizzonte infinito

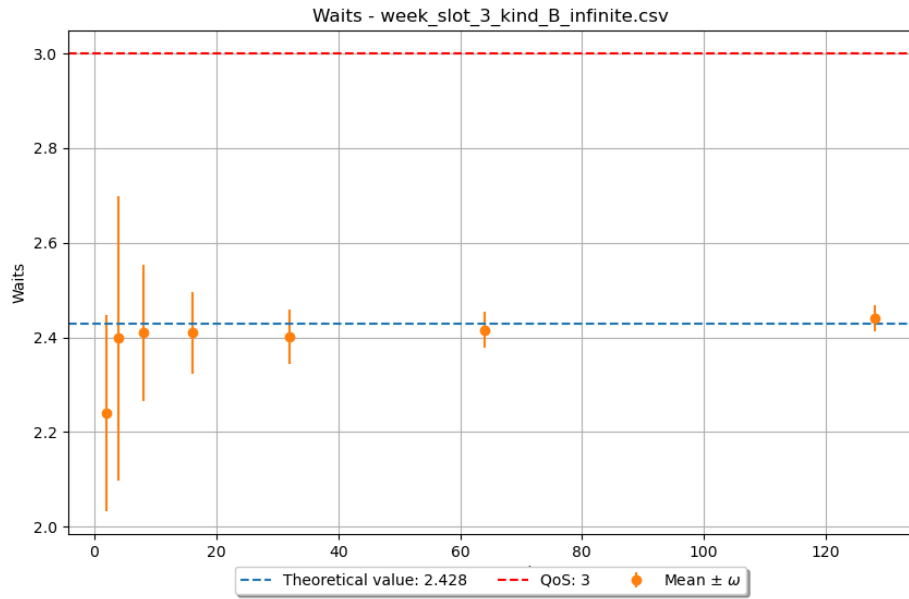
9.3.1.1 Slot 0



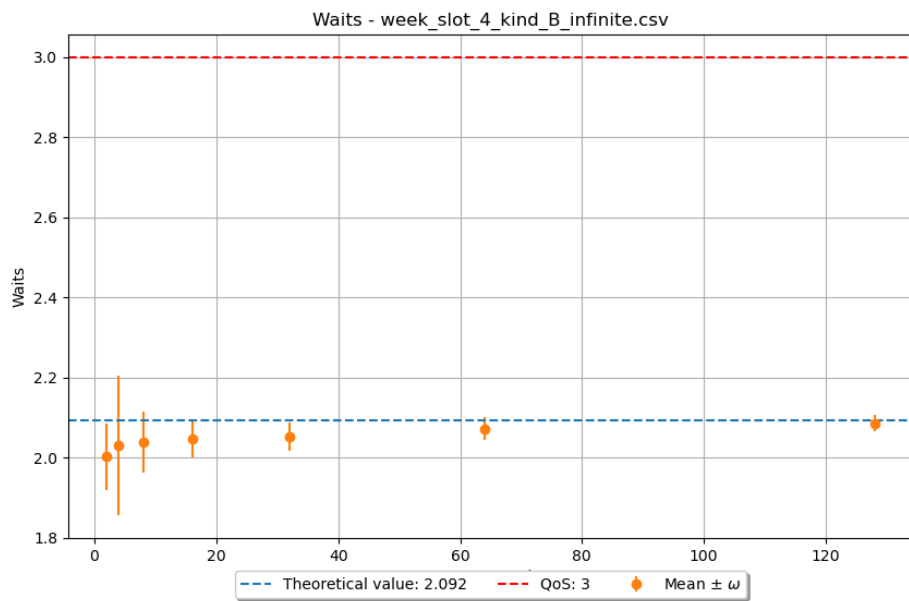
9.3.1.2 Slot 1



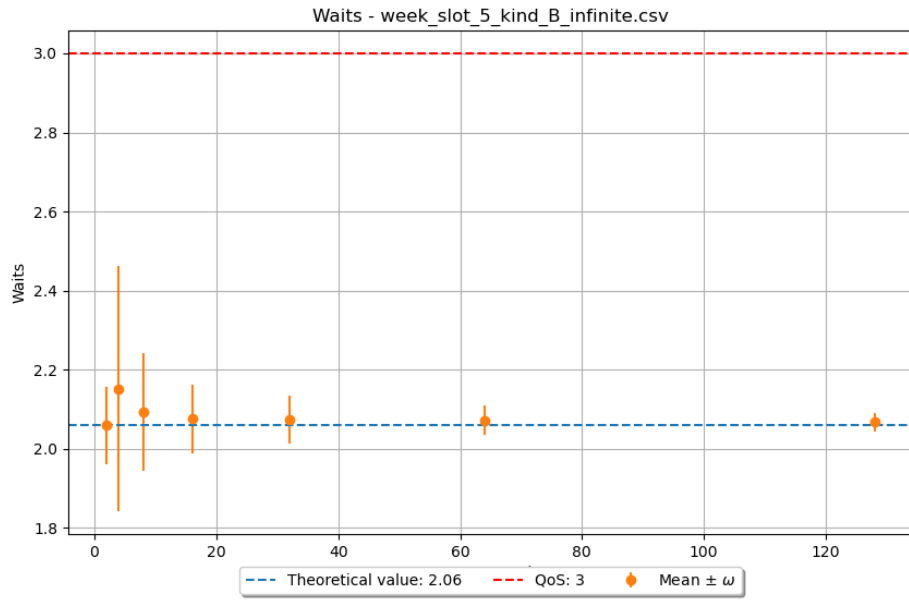
9.3.1.3 Slot 3



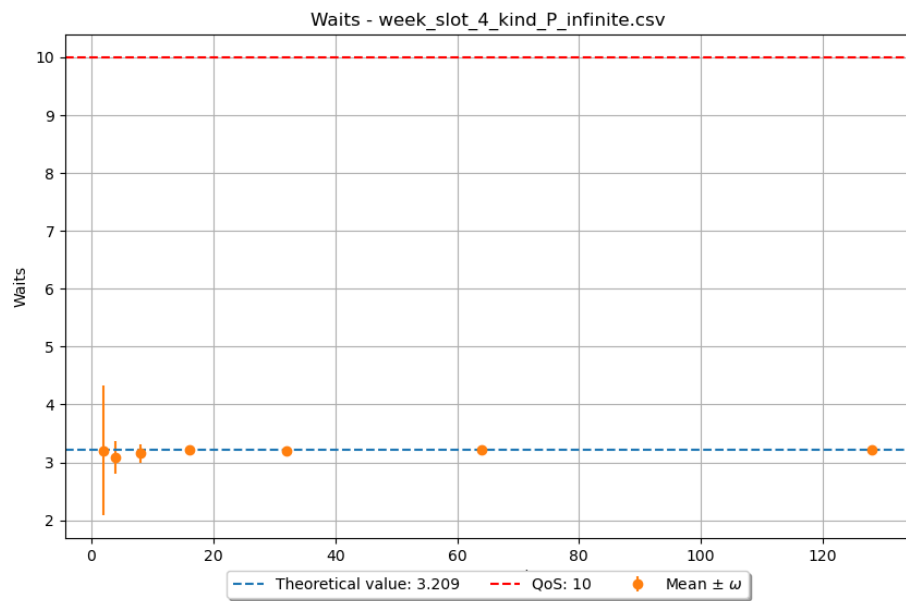
9.3.1.4 Slot 4



9.3.1.5 Slot 5

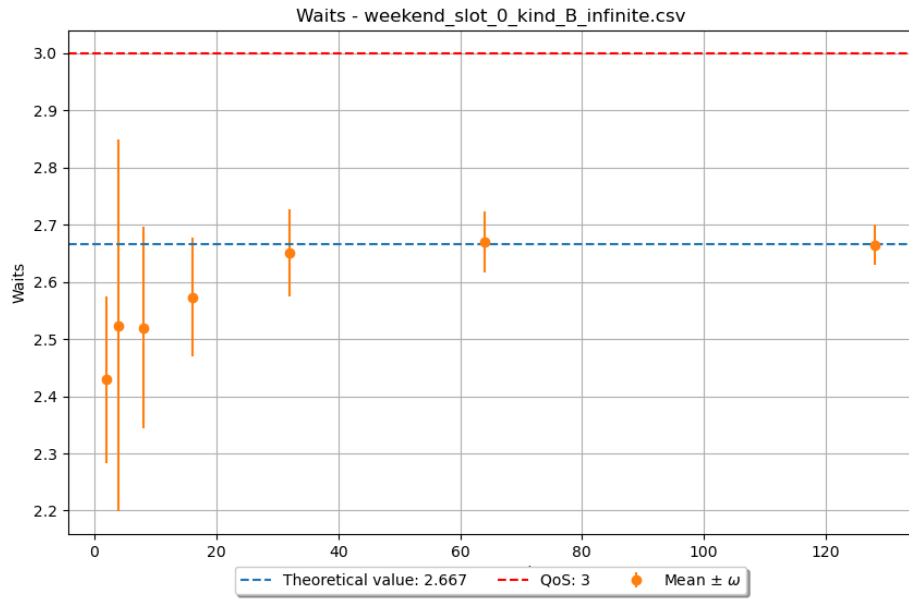


9.3.1.6 P

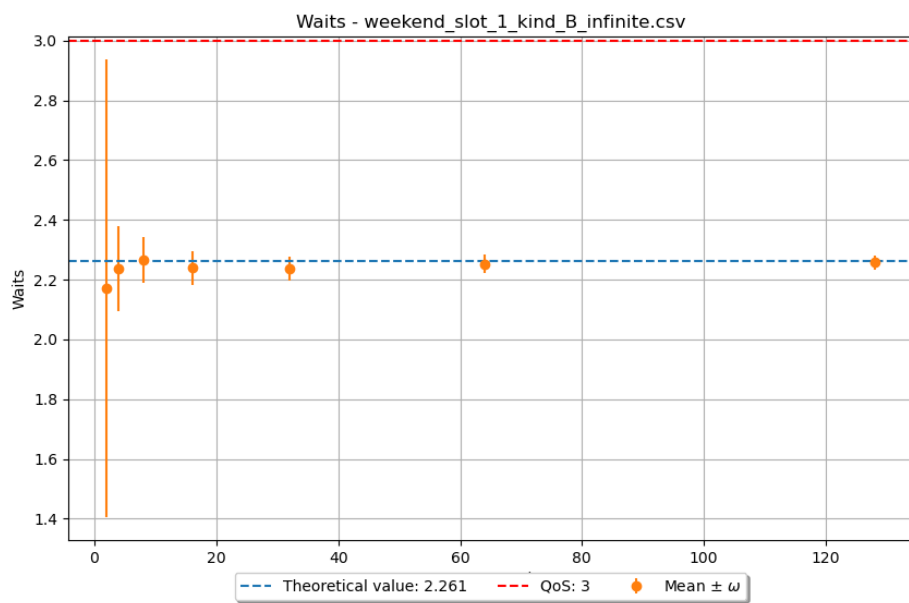


9.3.2 Weekend - orizzonte infinito

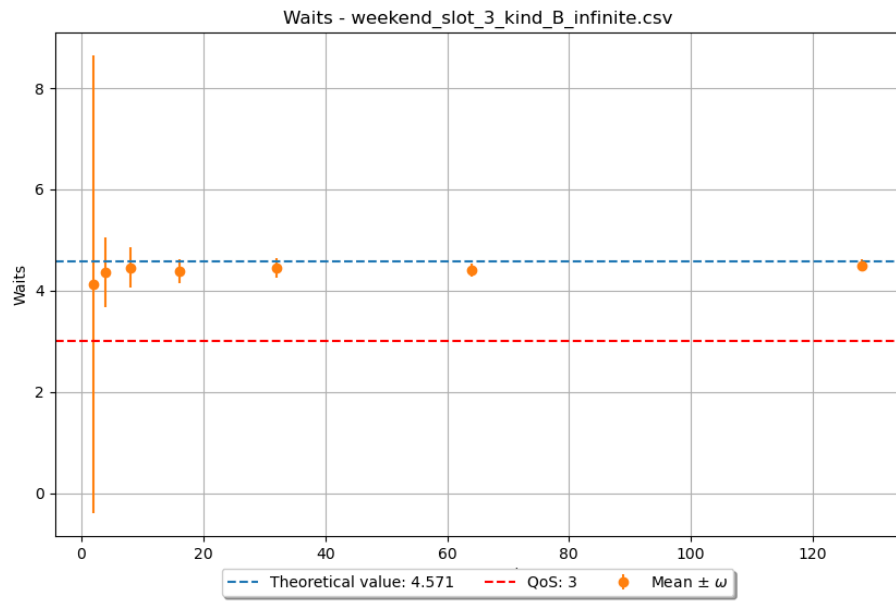
9.3.2.1 Slot 0



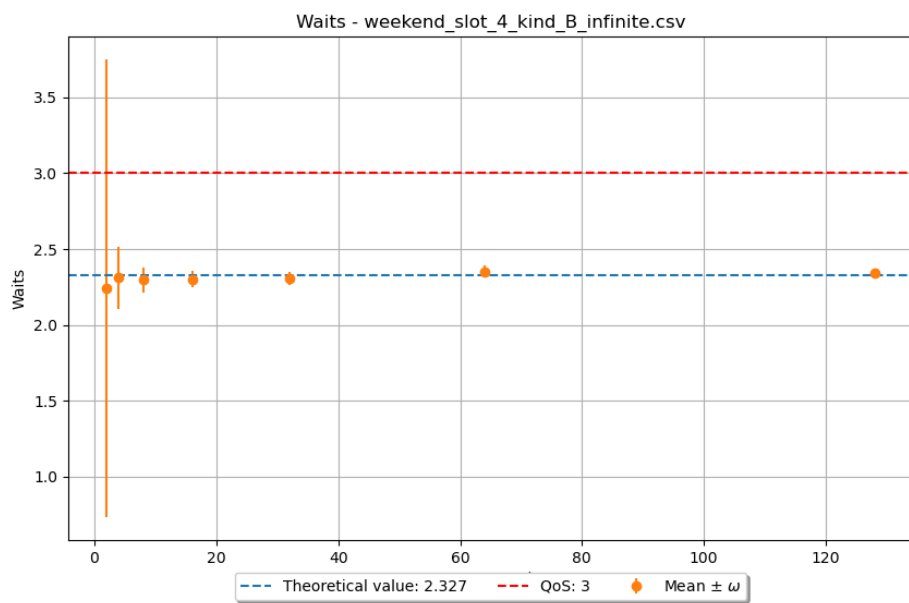
9.3.2.2 Slot 1



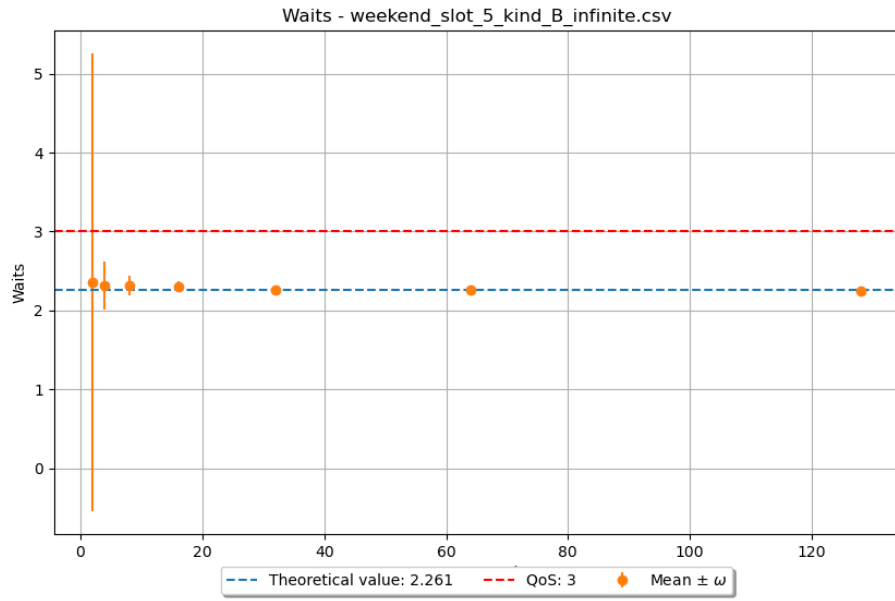
9.3.2.3 Slot 3



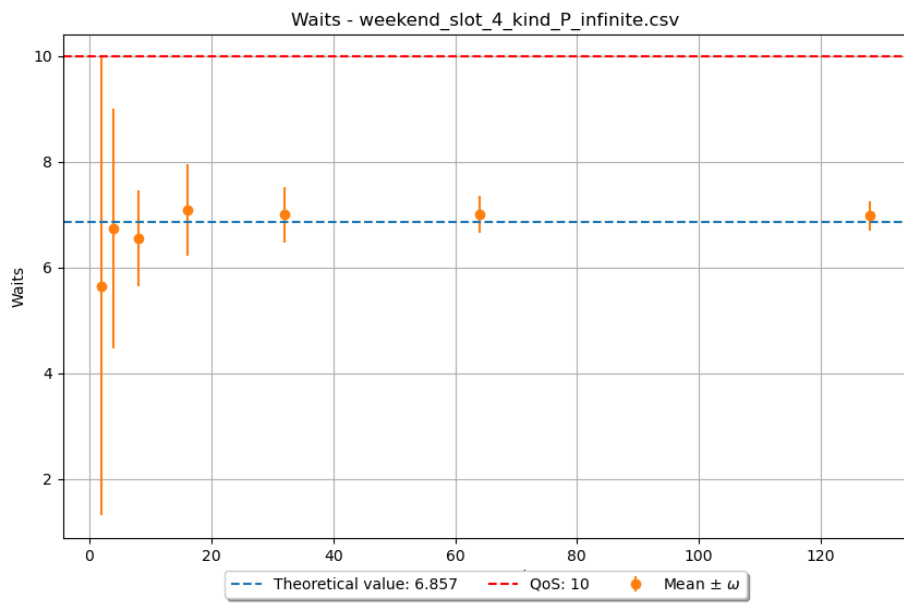
9.3.2.4 Slot 4



9.3.2.5 Slot 5

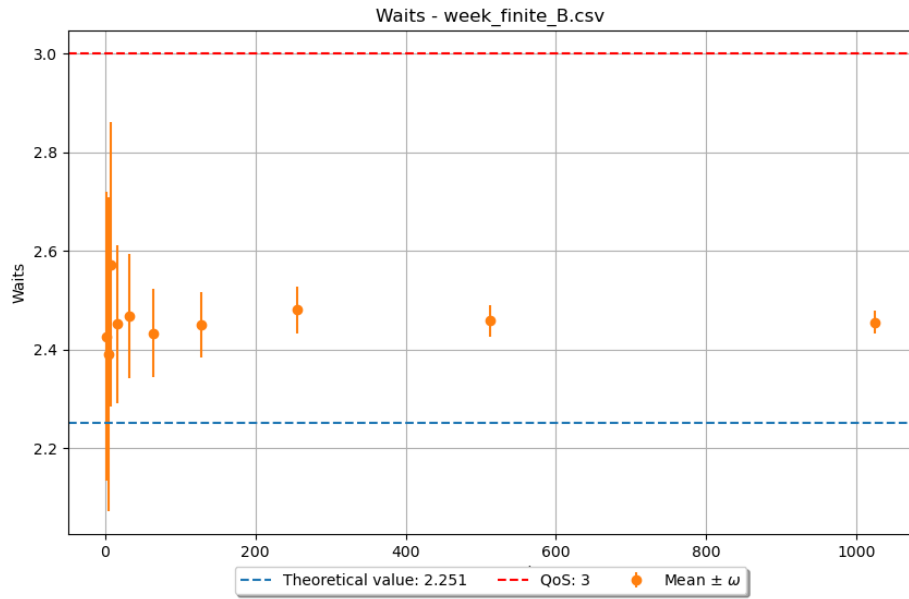


9.3.2.6 P

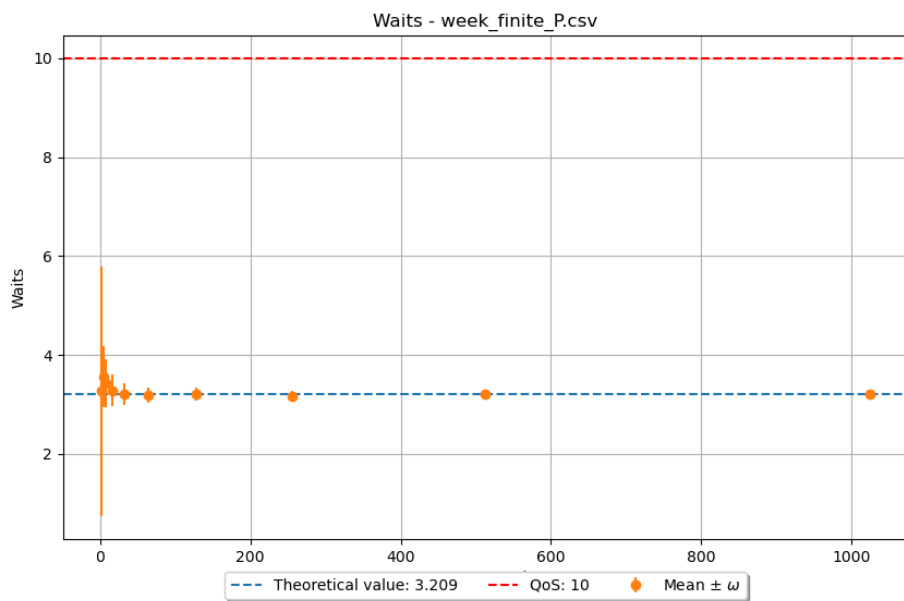


9.3.3 Week - orizzonte finito

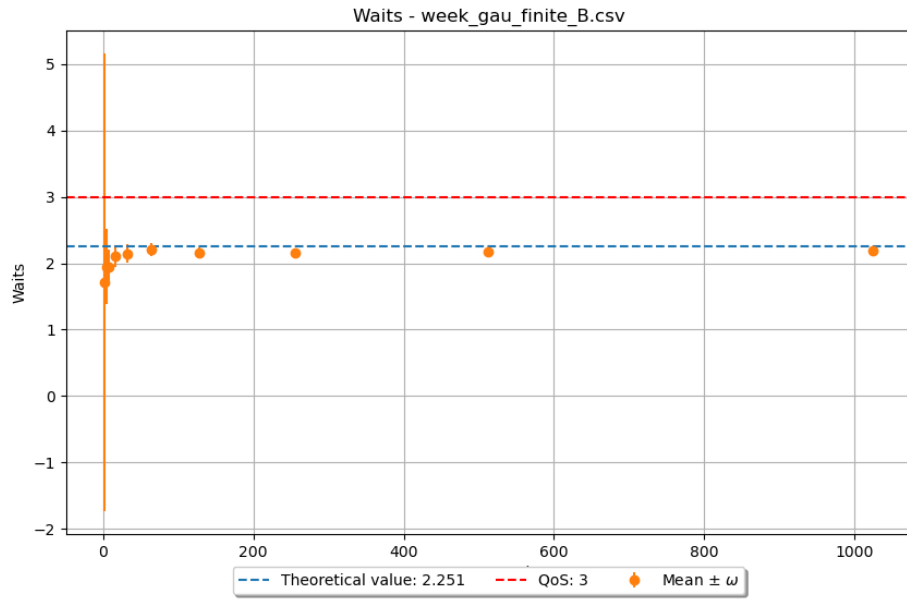
9.3.3.1 Tipo B - no gaussian factor



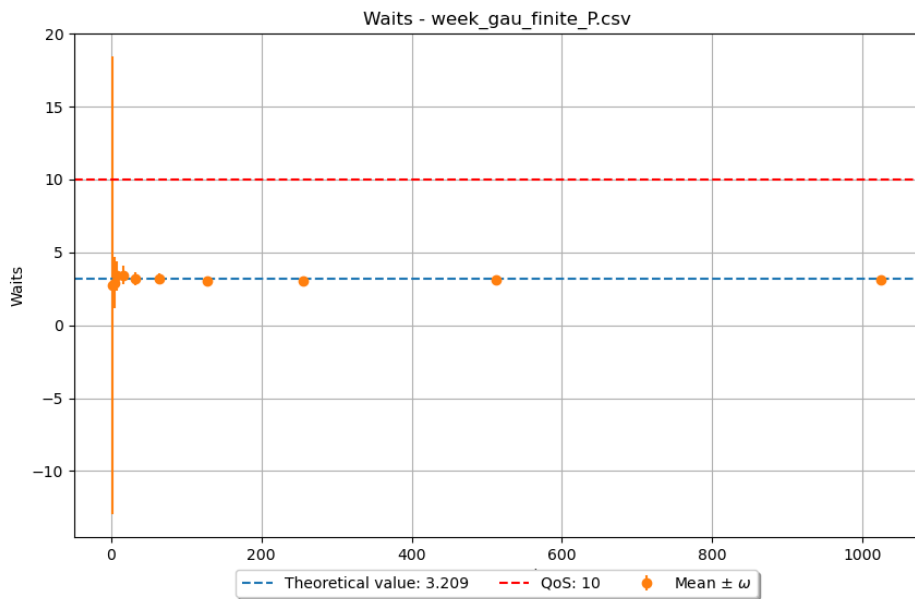
9.3.3.2 Tipo P - no gaussian factor



9.3.3.3 Tipo B - gaussian factor

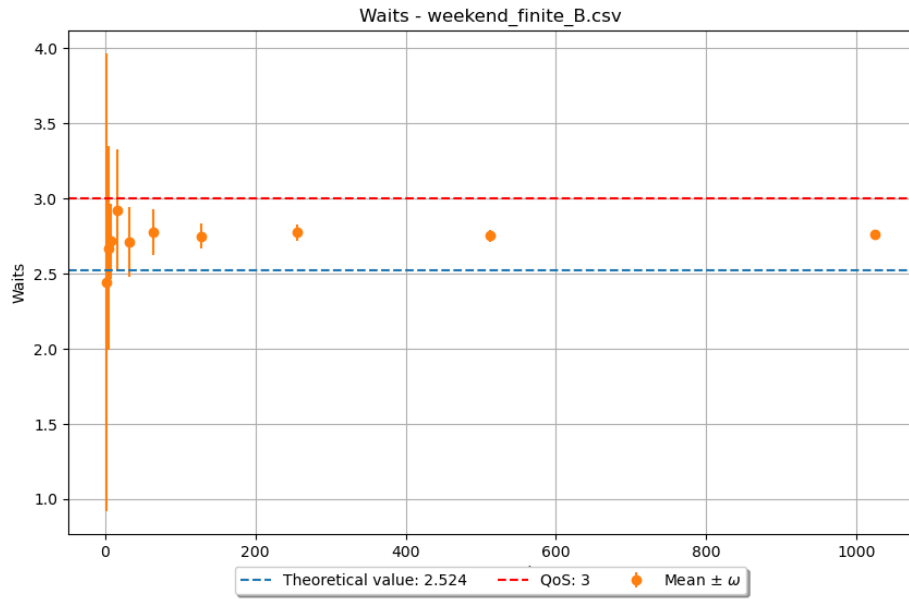


9.3.3.4 Tipo P - gaussian factor

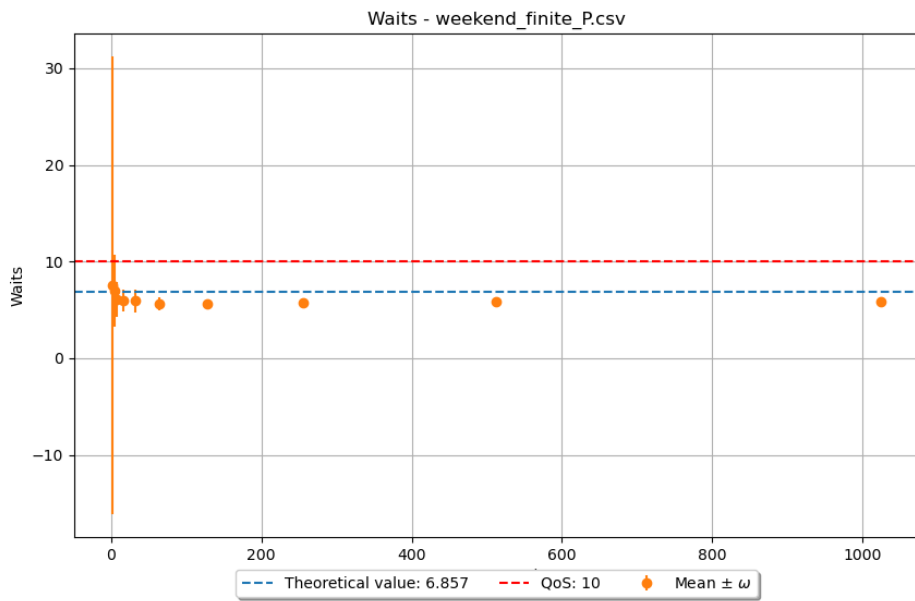


9.3.4 Weekend - orizzonte finito

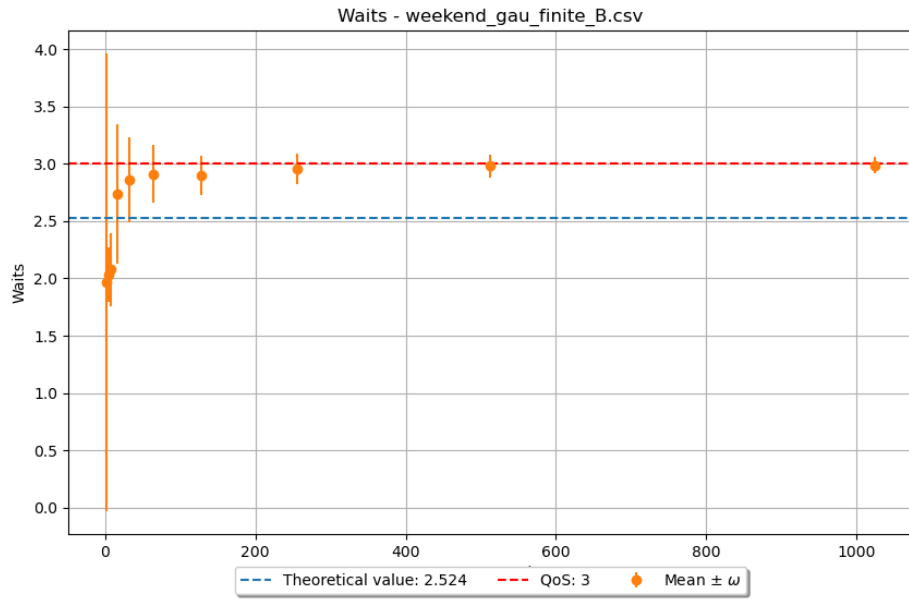
9.3.4.1 Tipo B



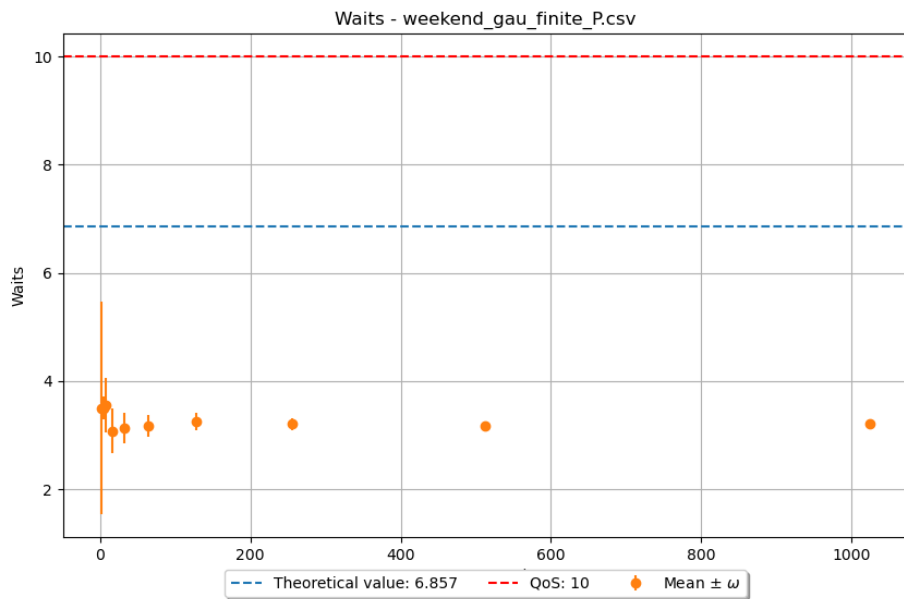
9.3.4.2 Tipo P



9.3.4.3 Tipo B - gaussian factor



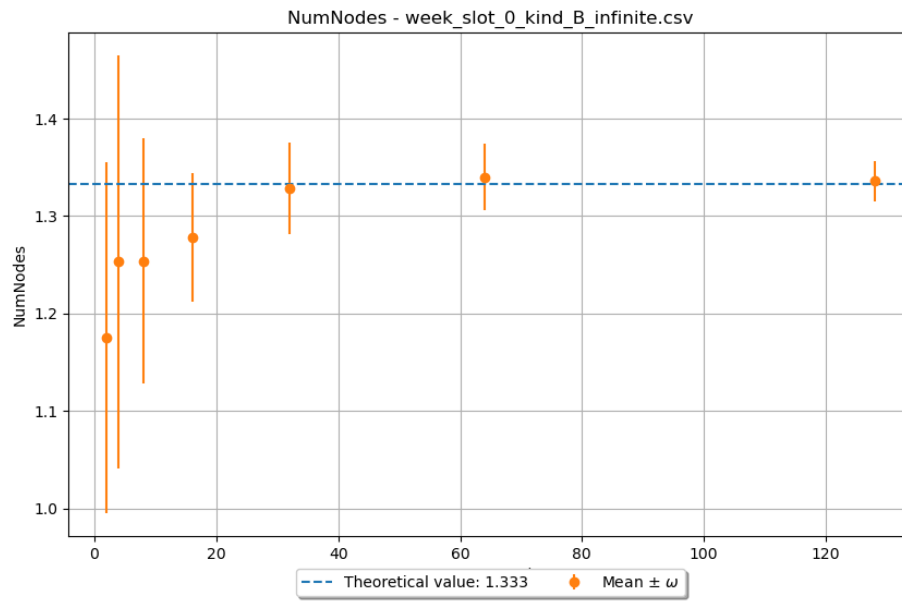
9.3.4.4 Tipo P - gaussian factor



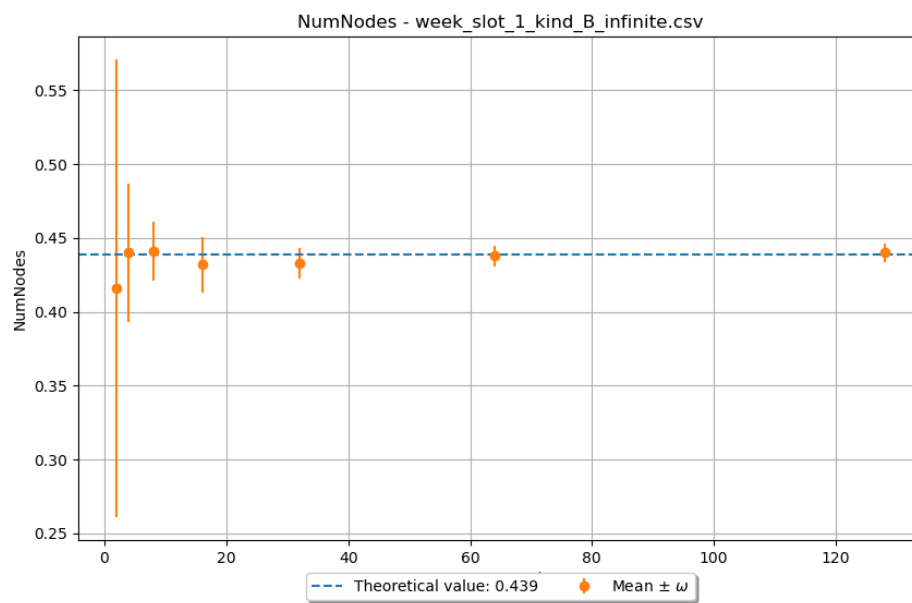
9.4 Popolazione nel centro

9.4.1 Week - orizzonte infinito

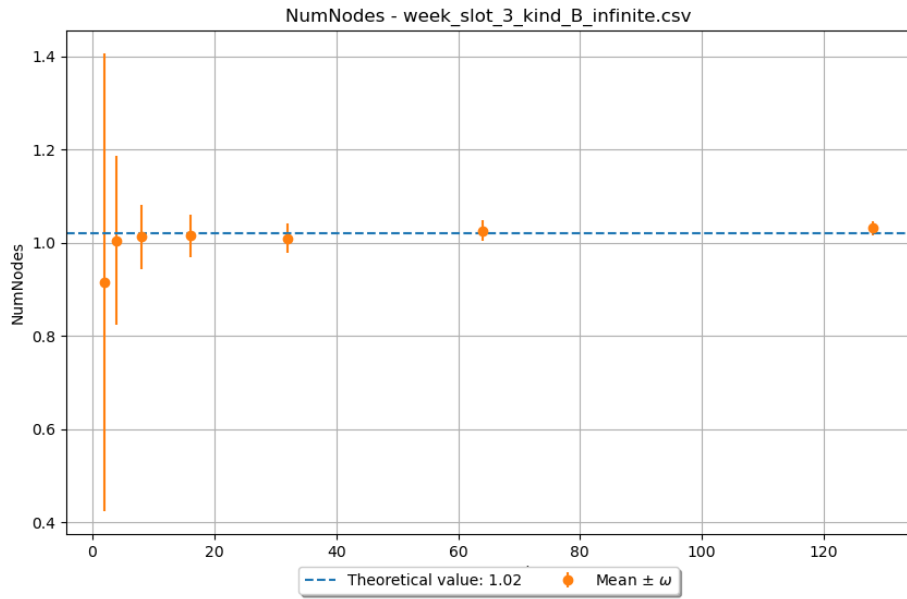
9.4.1.1 Slot 0



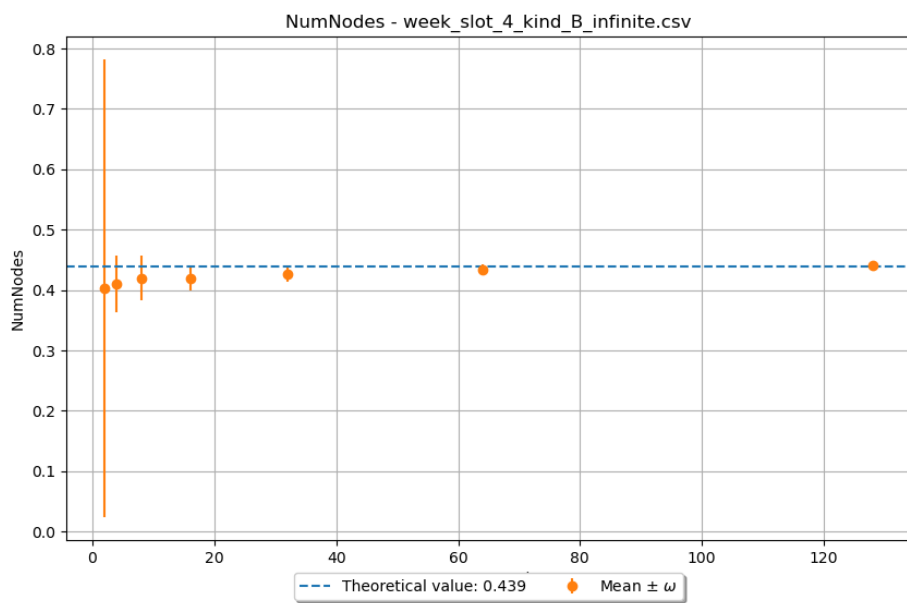
9.4.1.2 Slot 1



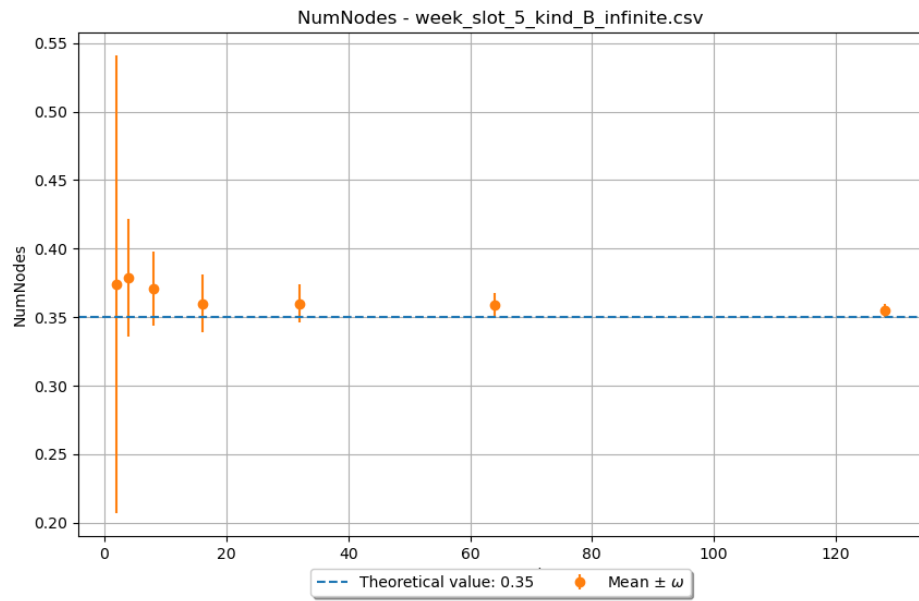
9.4.1.3 Slot 3



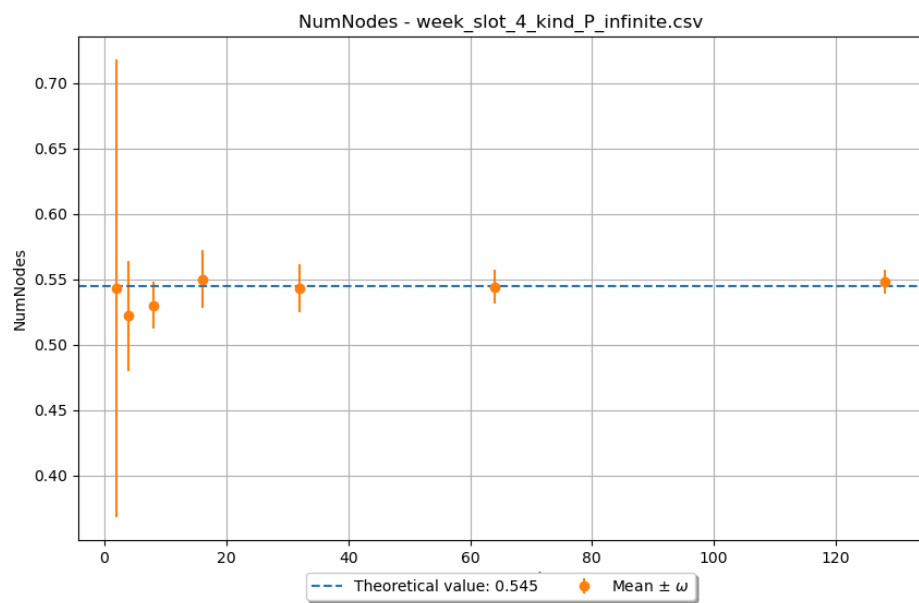
9.4.1.4 Slot 4



9.4.1.5 Slot 5

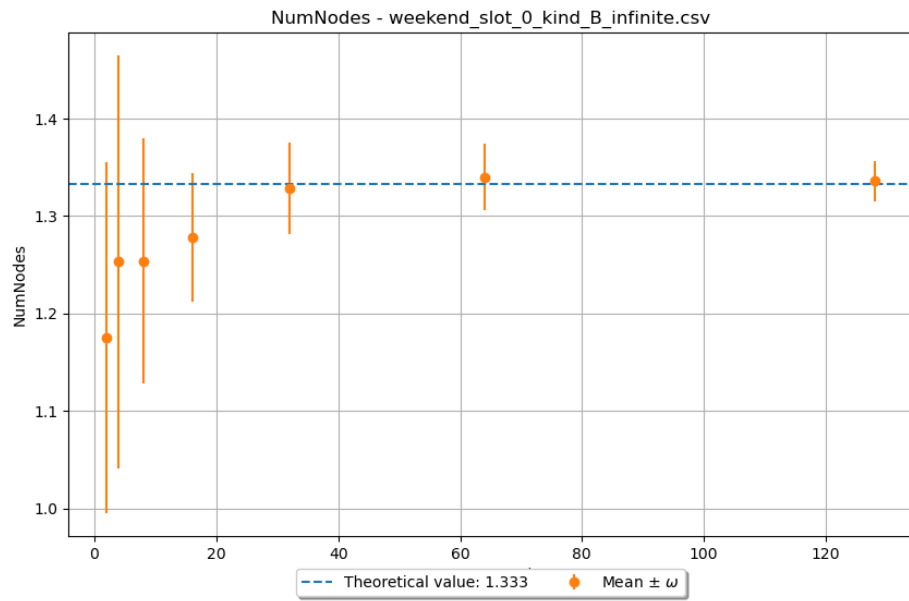


9.4.1.6 P

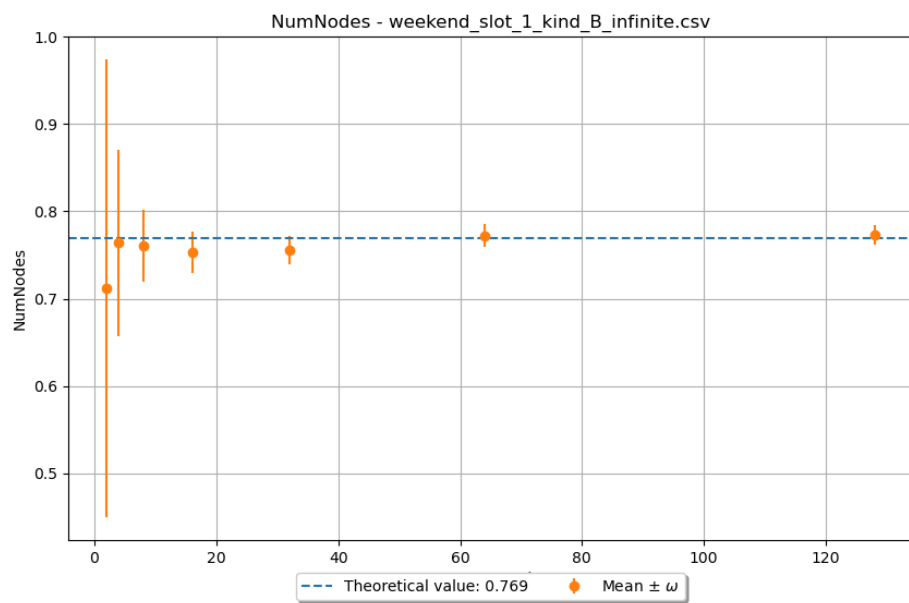


9.4.2 Weekend - orizzonte infinito

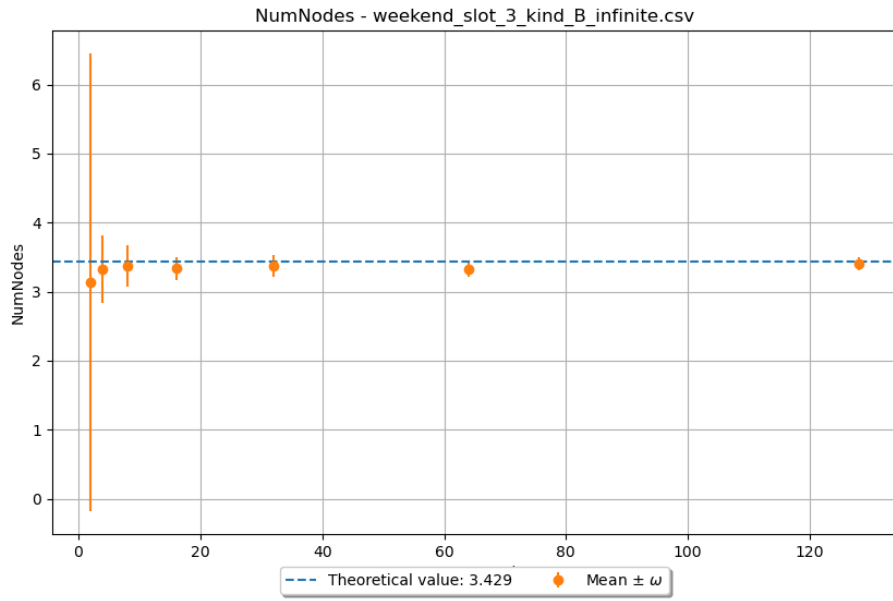
9.4.2.1 Slot 0



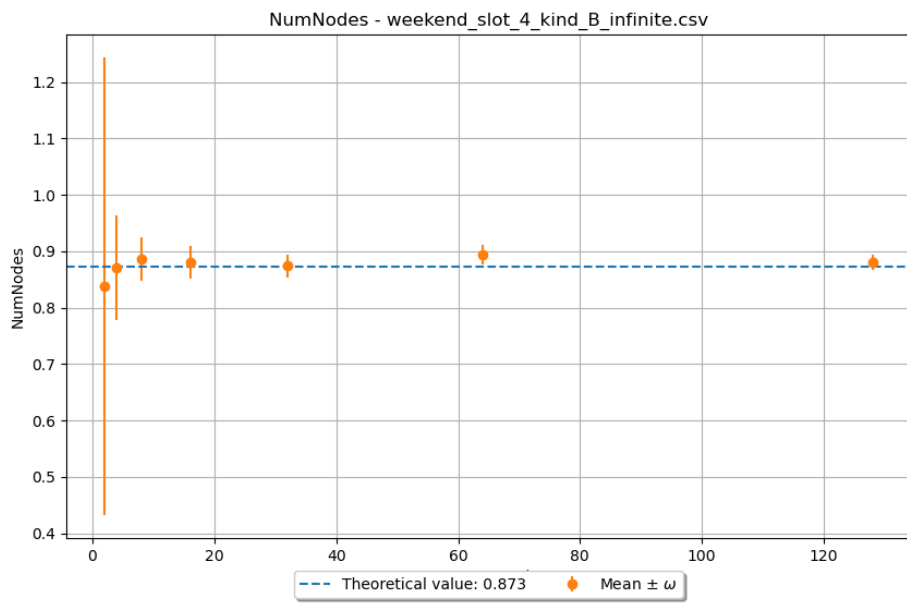
9.4.2.2 Slot 1



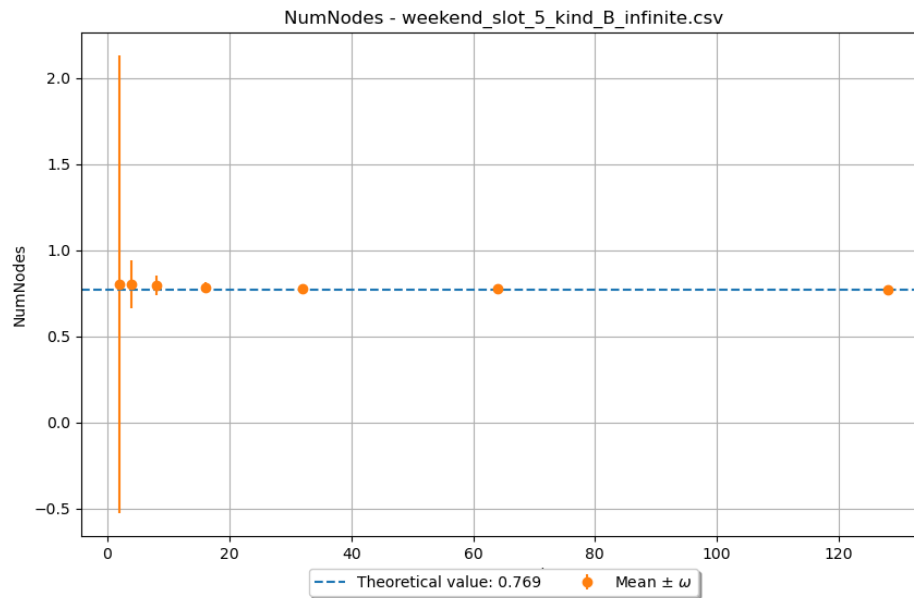
9.4.2.3 Slot 3



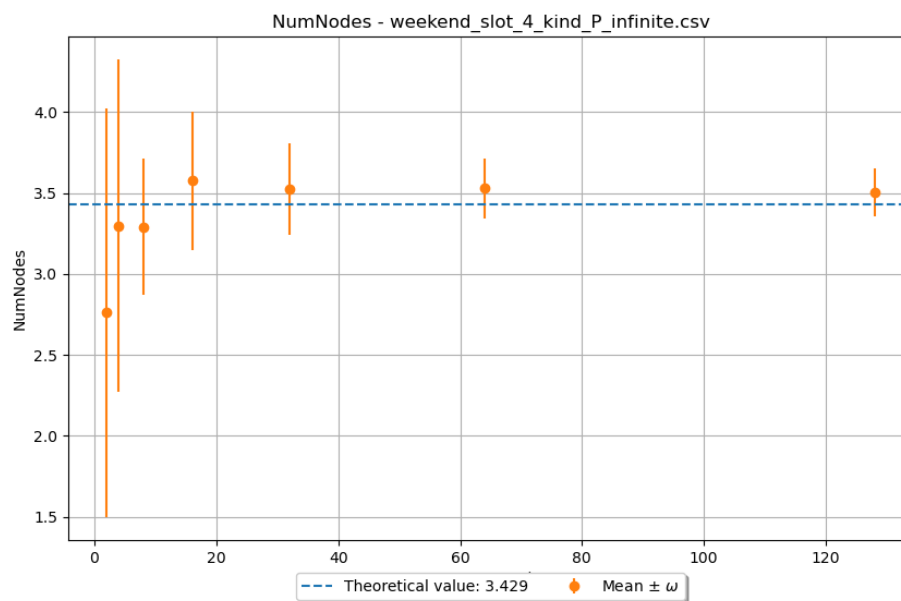
9.4.2.4 Slot 4



9.4.2.5 Slot 5



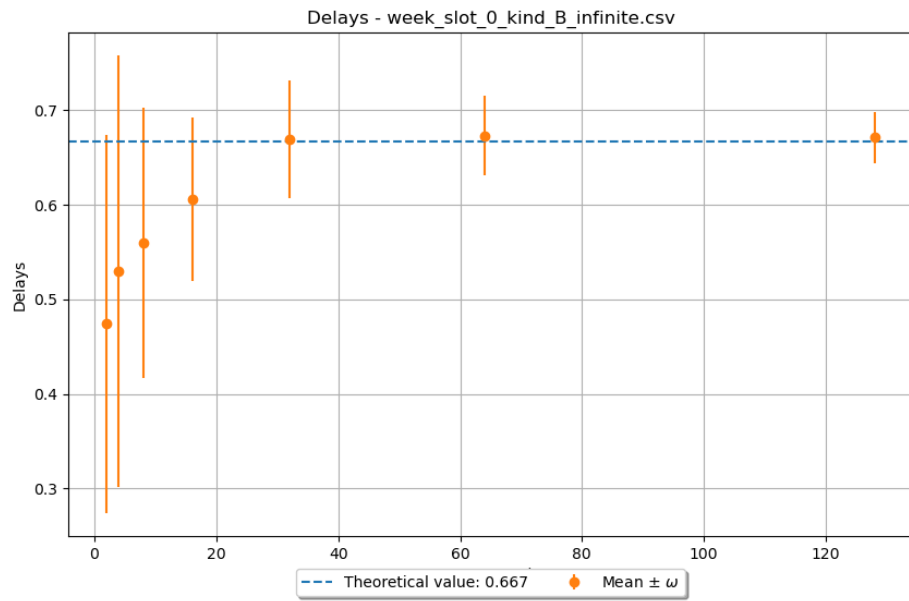
9.4.2.6 P



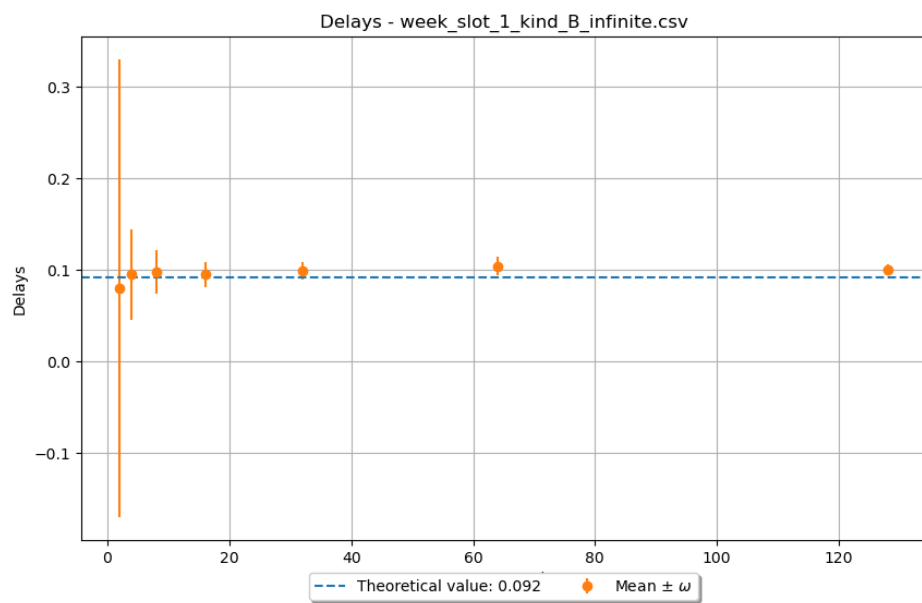
9.5 Ritardo

9.5.1 Week - orizzonte infinito

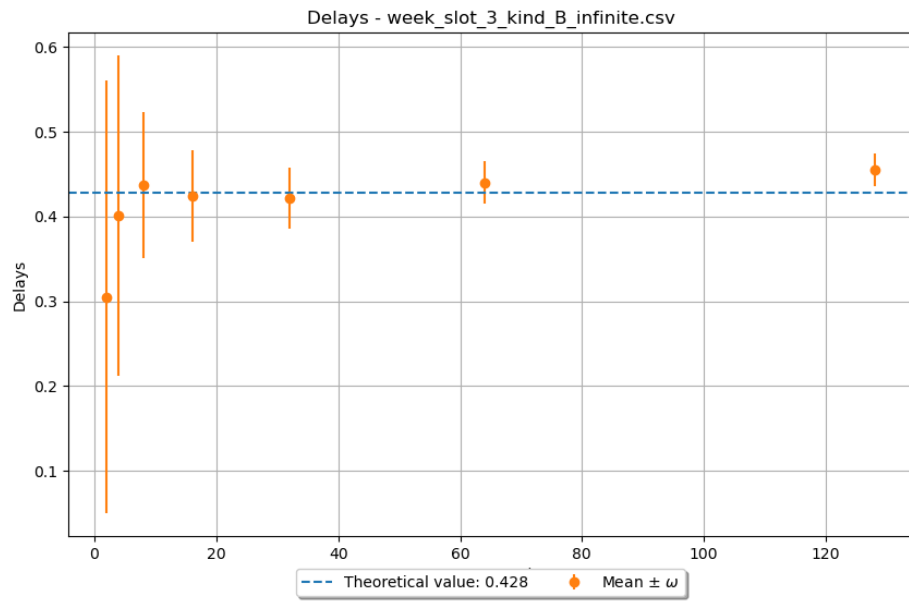
9.5.1.1 Slot 0



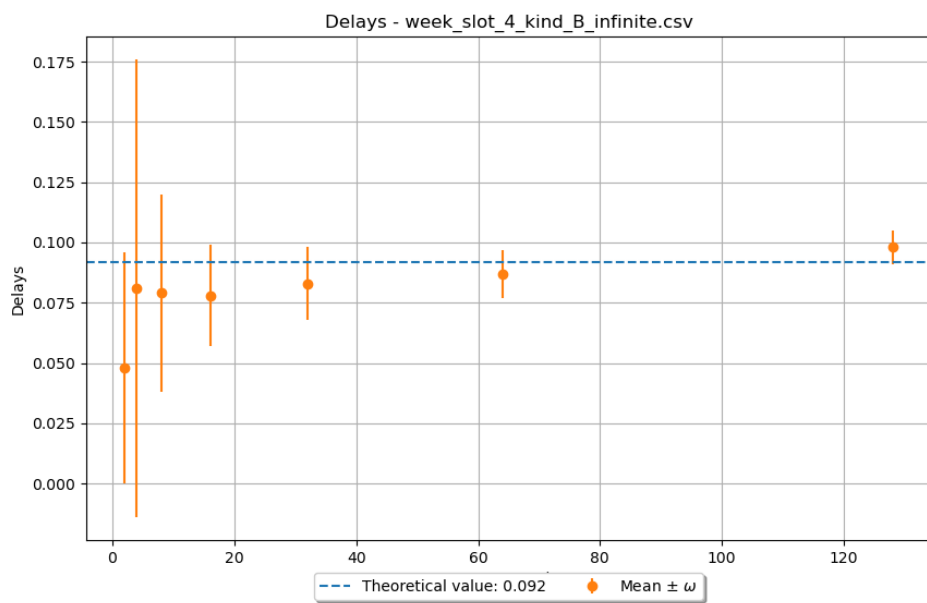
9.5.1.2 Slot 1



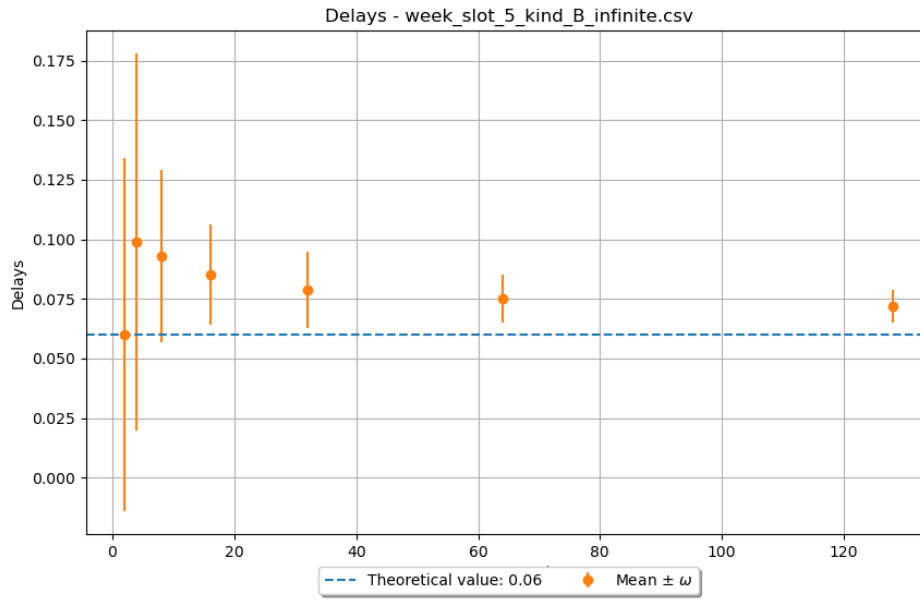
9.5.1.3 Slot 3



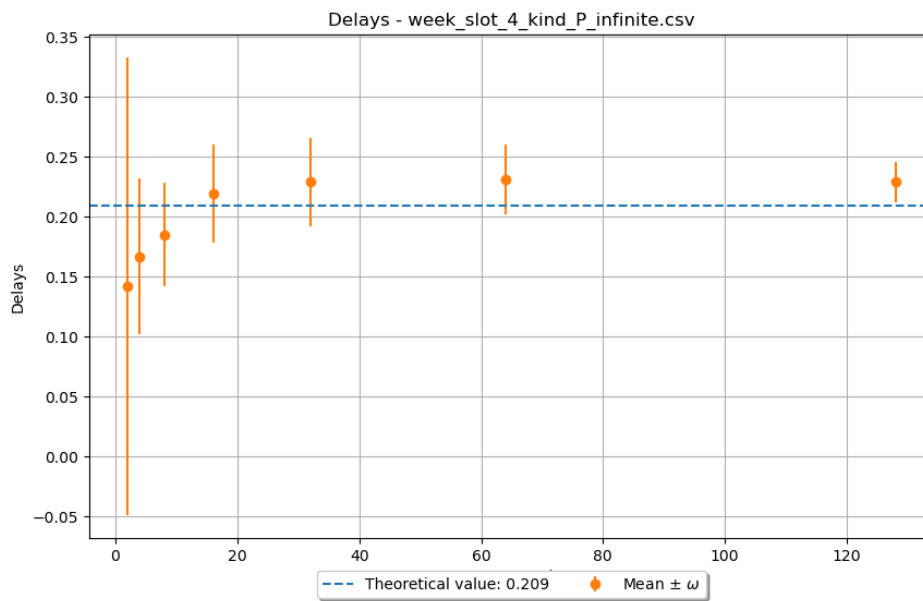
9.5.1.4 Slot 4



9.5.1.5 Slot 5

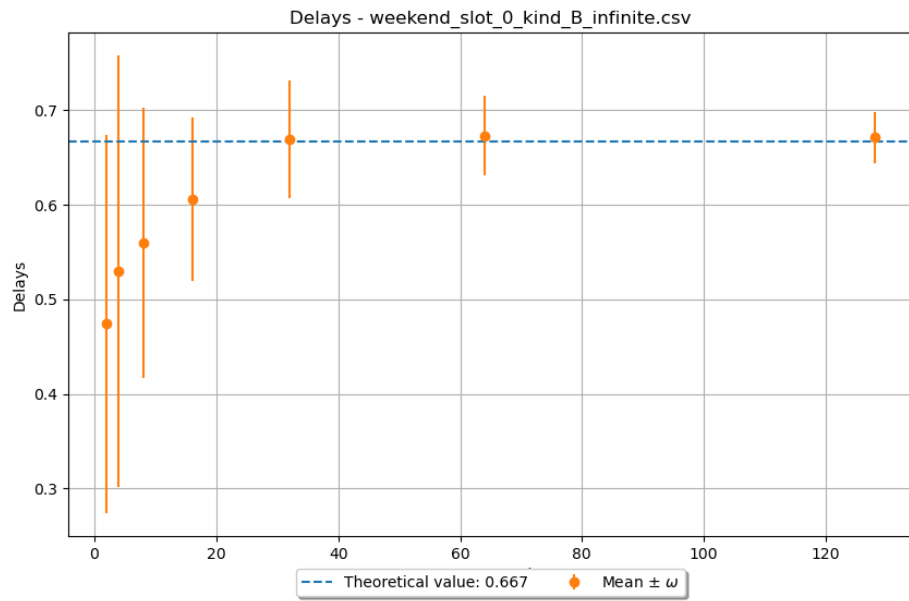


9.5.1.6 P

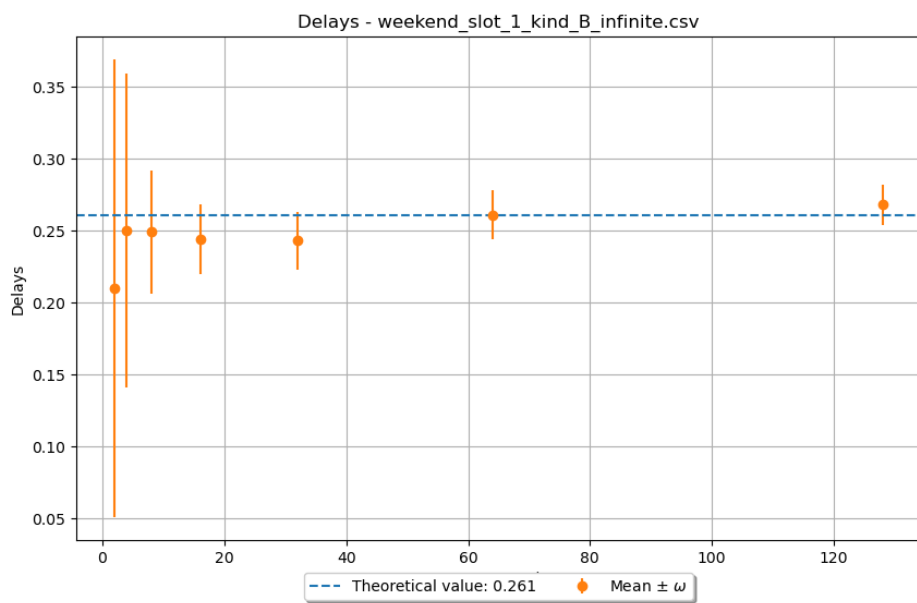


9.5.2 Weekend - orizzonte infinito

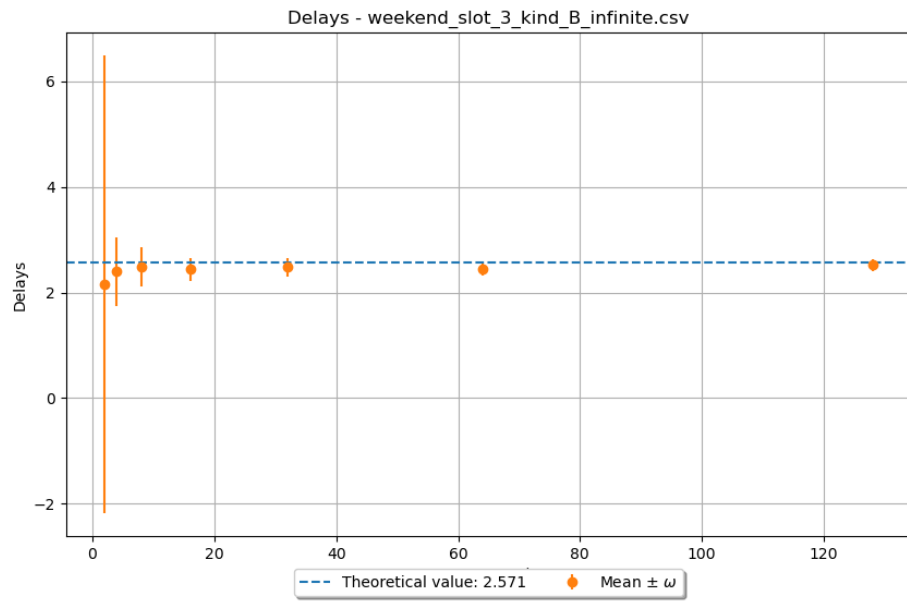
9.5.2.1 Slot 0



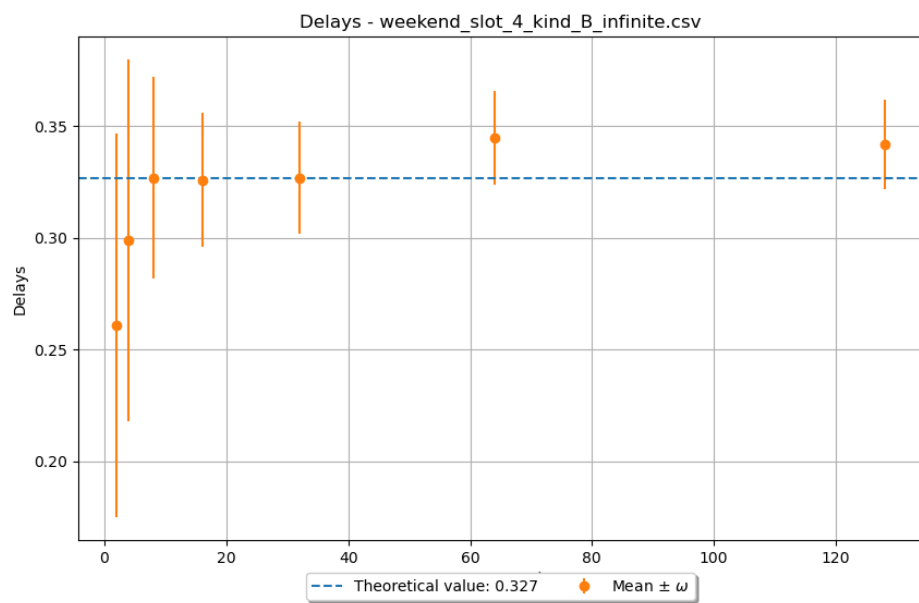
9.5.2.2 Slot 1



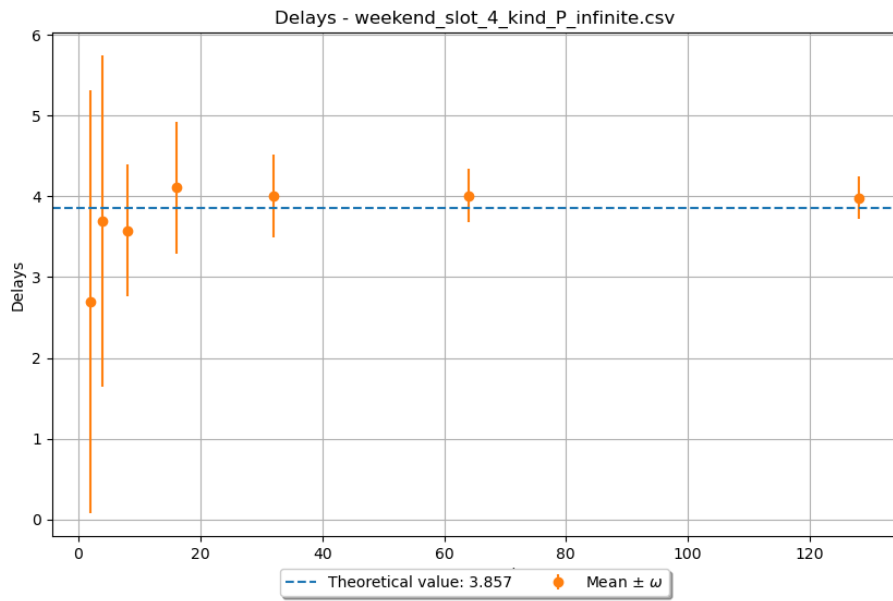
9.5.2.3 Slot 3



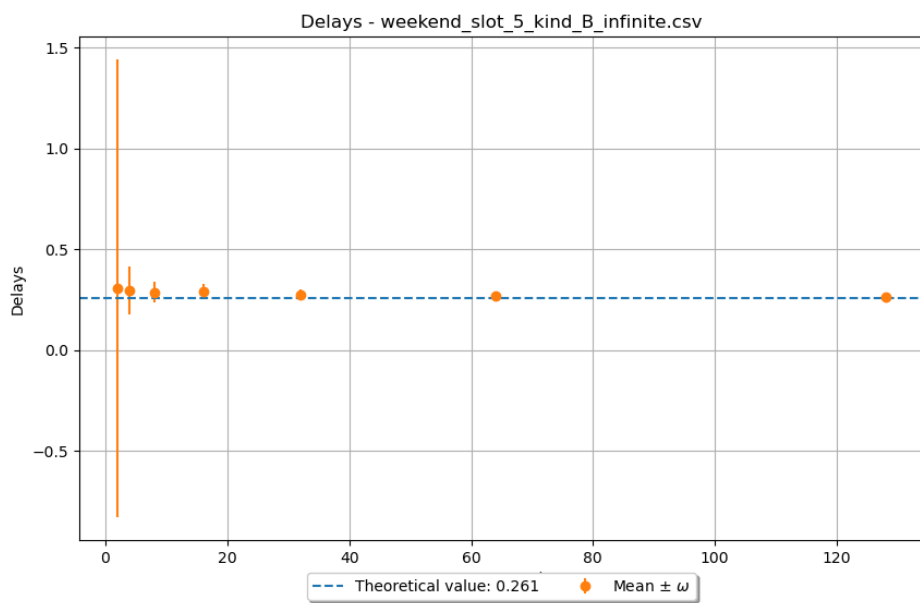
9.5.2.4 Slot 4



9.5.2.5 P



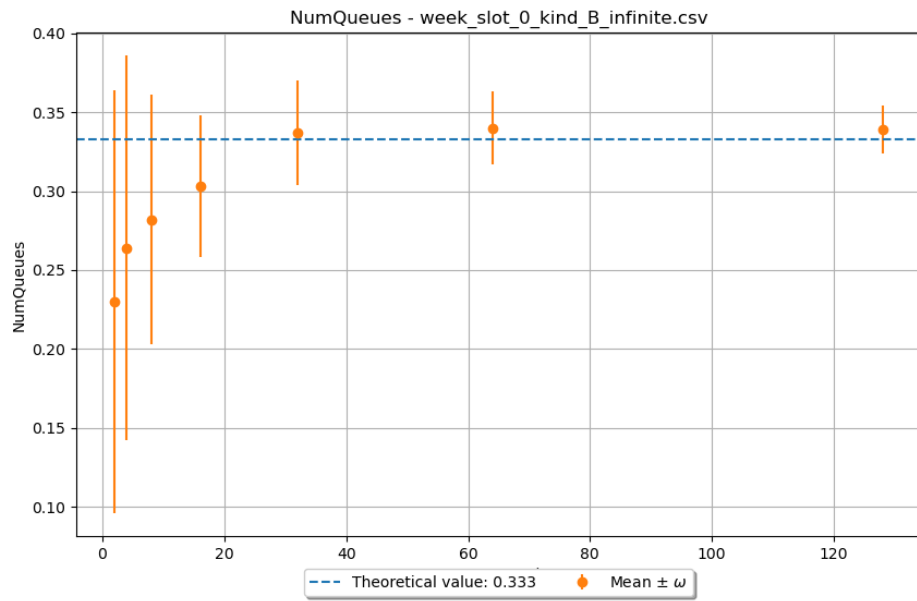
9.5.2.6 Slot 5



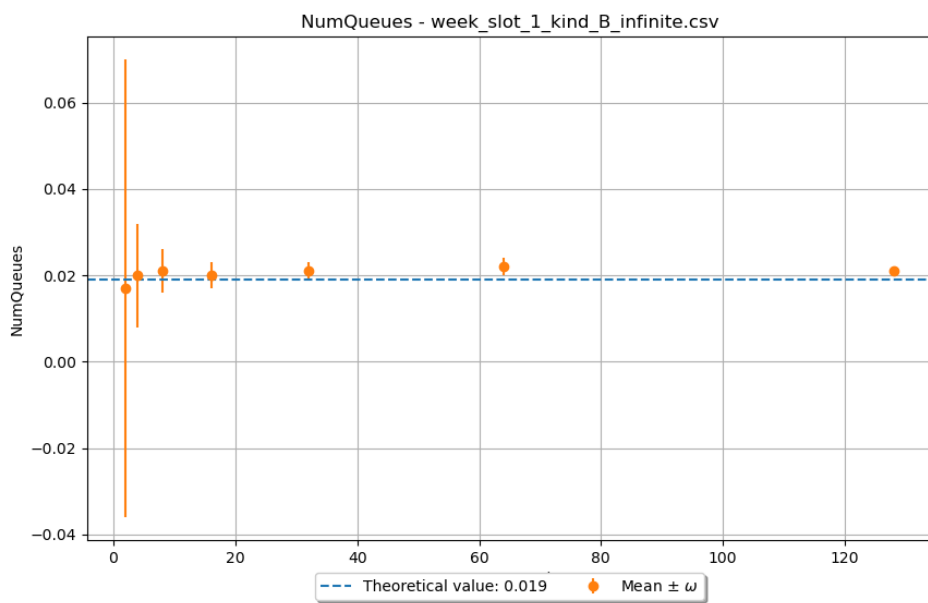
9.6 Popolazione in coda

9.6.1 Week - orizzonte infinito

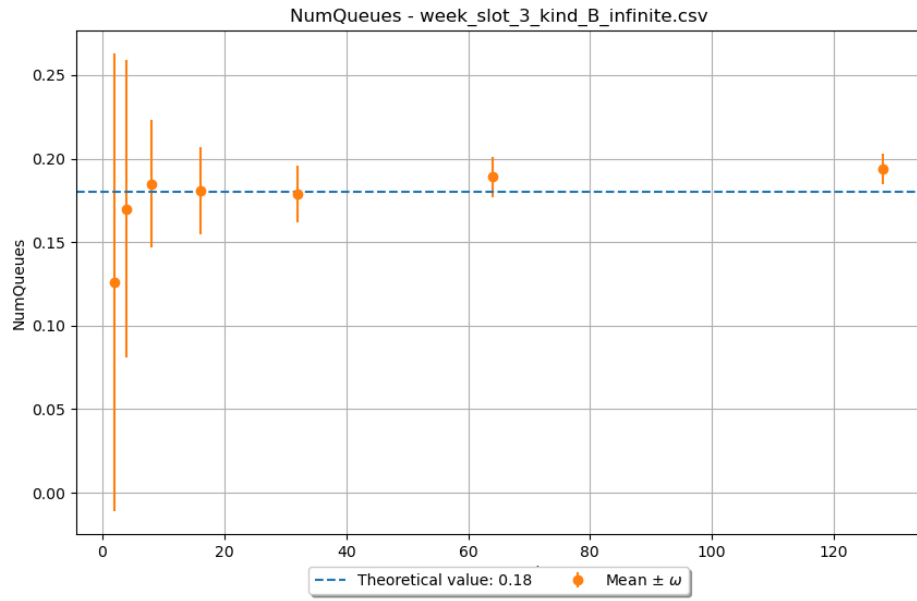
9.6.1.1 Slot 0



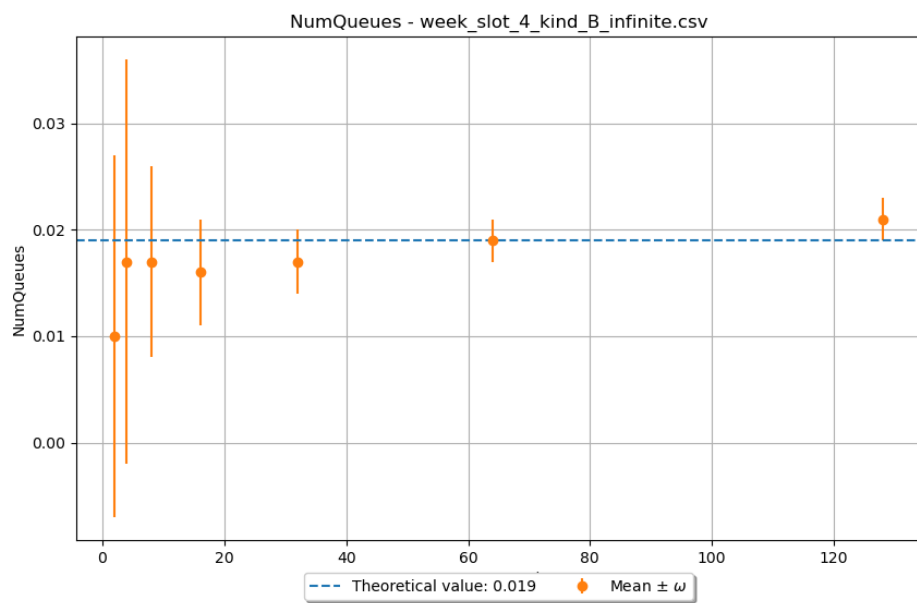
9.6.1.2 Slot 1



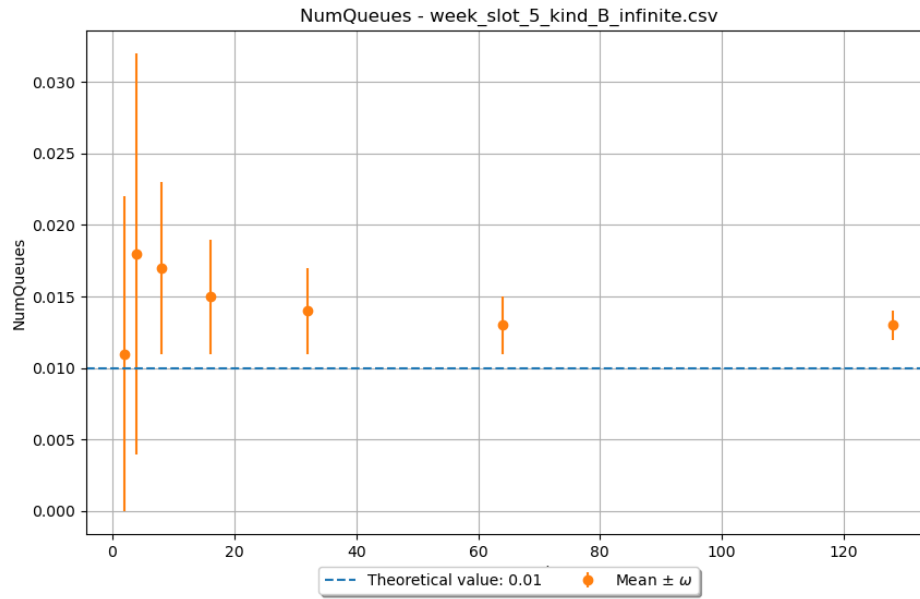
9.6.1.3 Slot 3



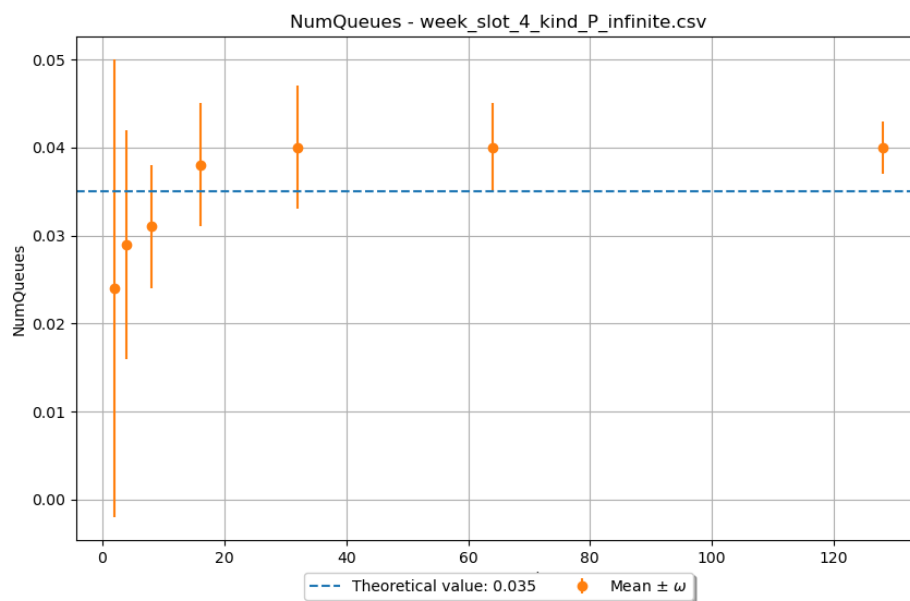
9.6.1.4 Slot 4



9.6.1.5 Slot 5

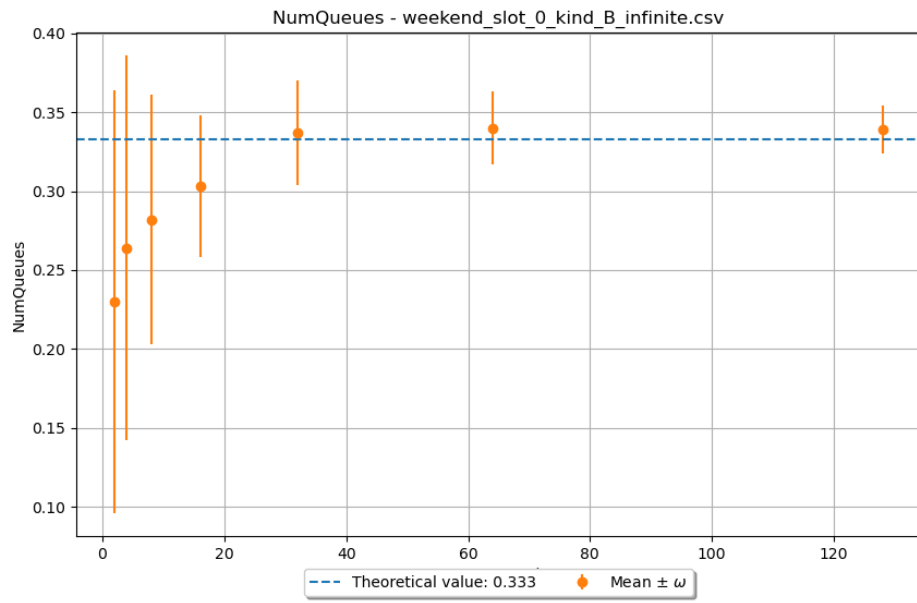


9.6.1.6 P

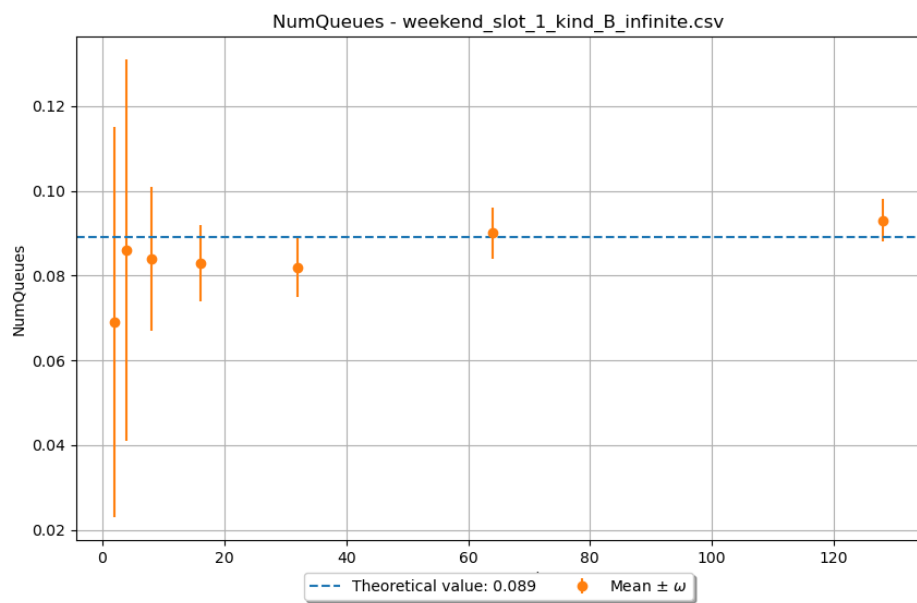


9.6.2 Weekend - orizzonte infinito

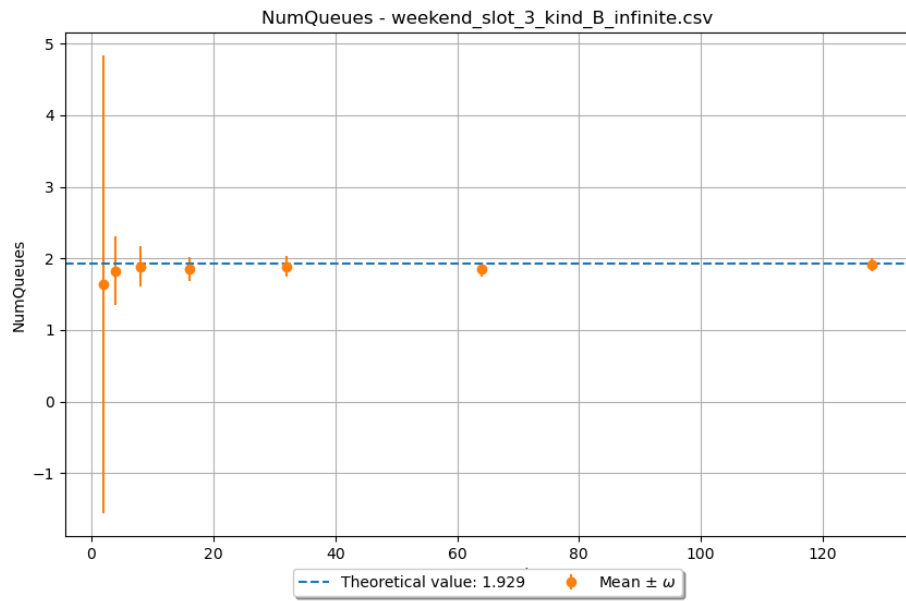
9.6.2.1 Slot 0



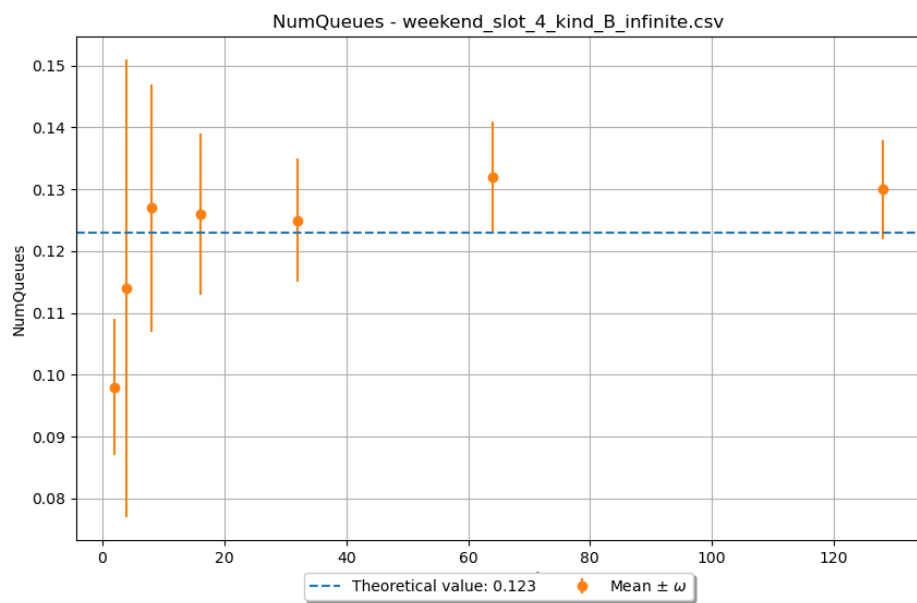
9.6.2.2 Slot 1



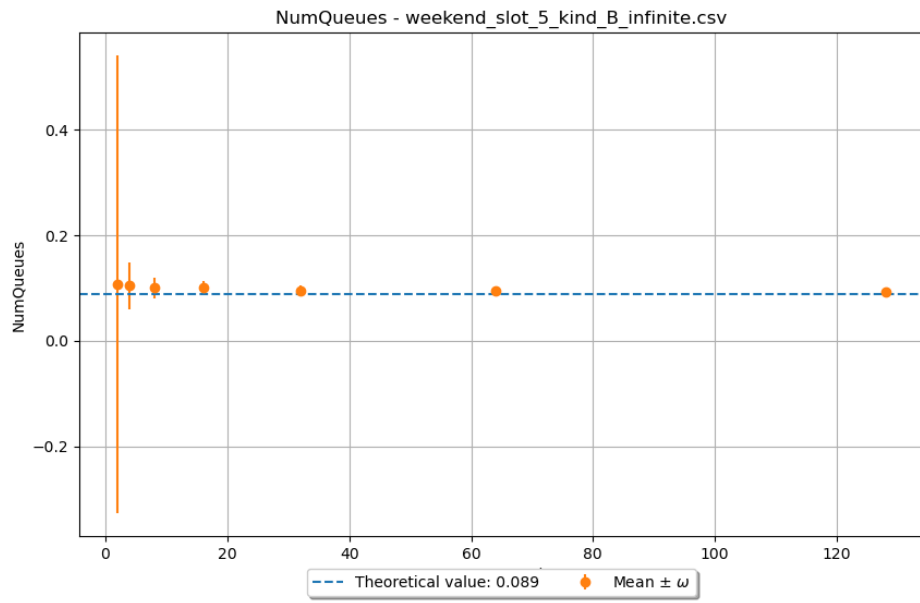
9.6.2.3 Slot 3



9.6.2.4 Slot 4



9.6.2.5 Slot 5



9.6.2.6 P

